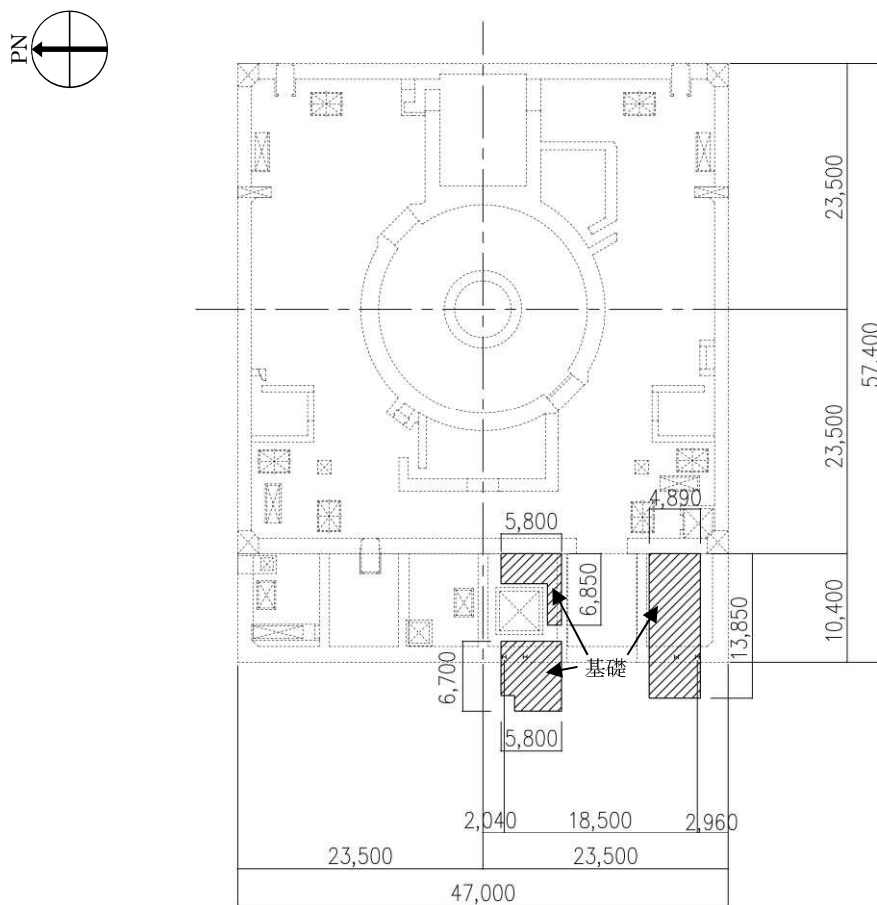


3.1.2 構造概要

燃料取り出し用カバーは燃料取扱設備を支持する架構で、南北方向に18.50m、東西方向に56.925m、地盤面からの高さが53.50mのドーム状屋根を設けた門型の架構である。構造形式はトラス構造で、構造種別は鉄骨造である。

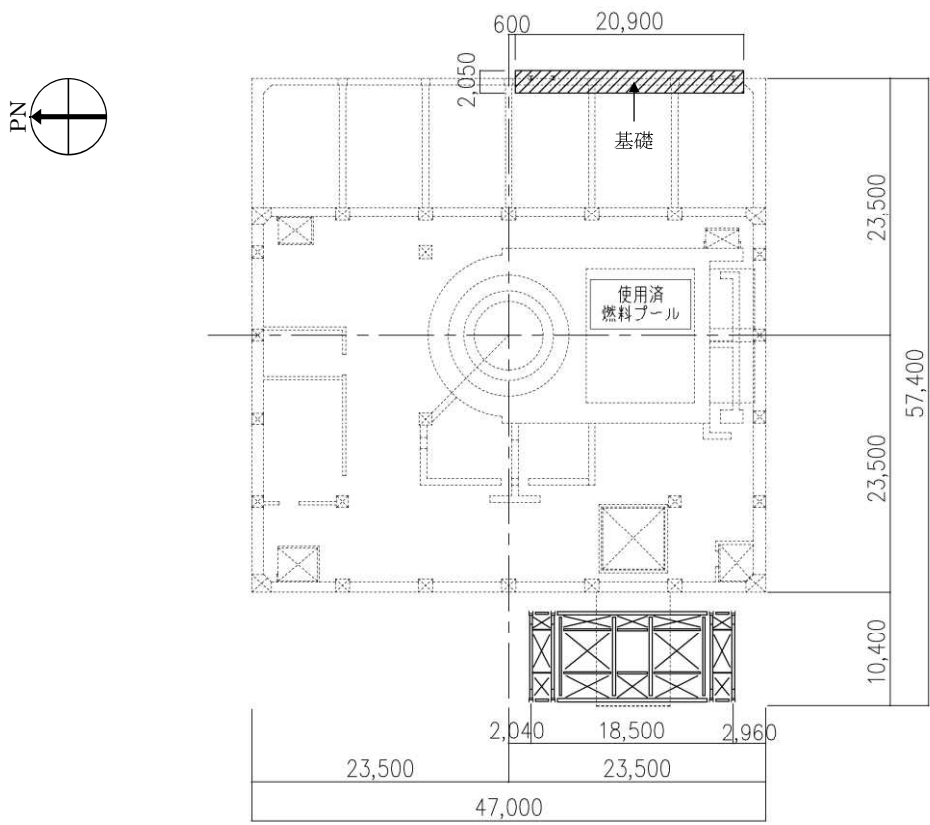
燃料取り出し用カバーは、原子炉建屋の1階、3階及び5階に支持される構造である。なお、5階の原子炉建屋躯体支持点においては、水平振れ止め装置（ストップ）及び鉛直方向の制震装置（オイルダンパ）を用いる。

燃料取り出し用カバーの概要を図3.1.2-1～図3.1.2-5に示す。



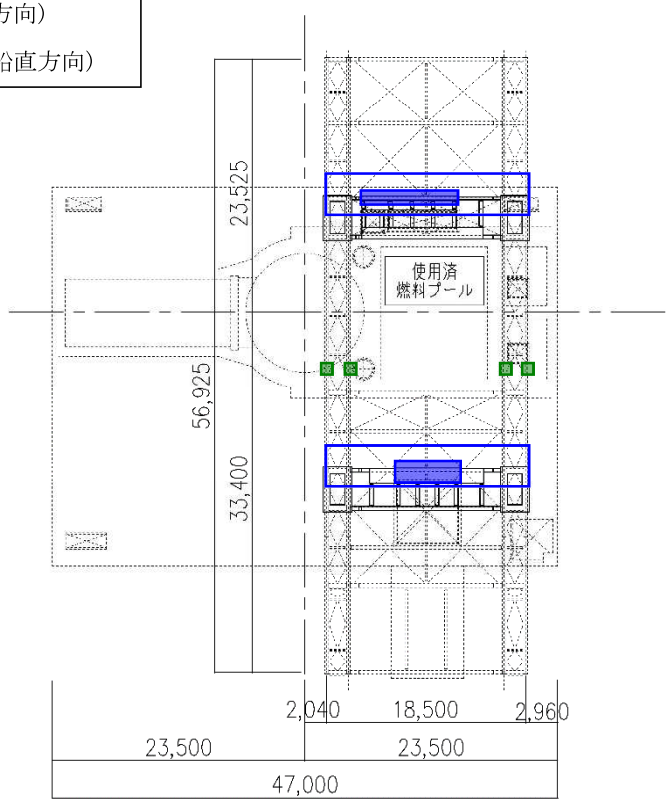
(a) 基礎伏図 (G. L. +500 原子炉建屋 1階レベル+300mm)

図 3.1.2-1 燃料取り出し用カバーの概要 (単位: mm)



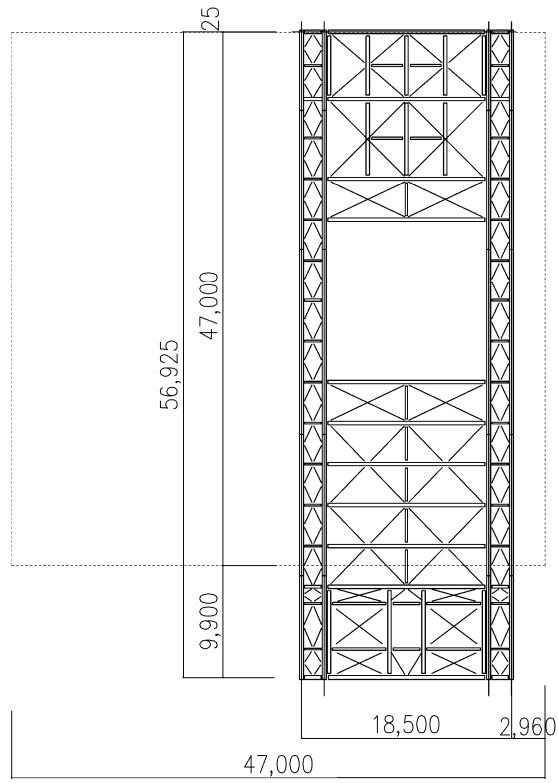
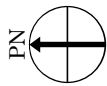
(a) 基礎伏図 (G. L. +16, 900 原子炉建屋 3 階)

- ストッパ(水平方向)
- オイルダンパ(鉛直方向)

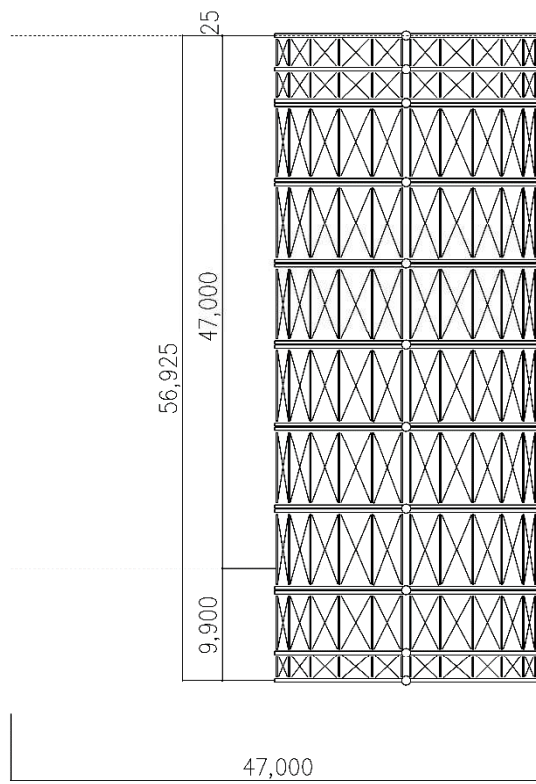


(b) 梁伏図 (G. L. +29, 920 原子炉建屋 5 階)

図 3. 1. 2-2 燃料取り出し用カバーの概要 (単位 : mm)

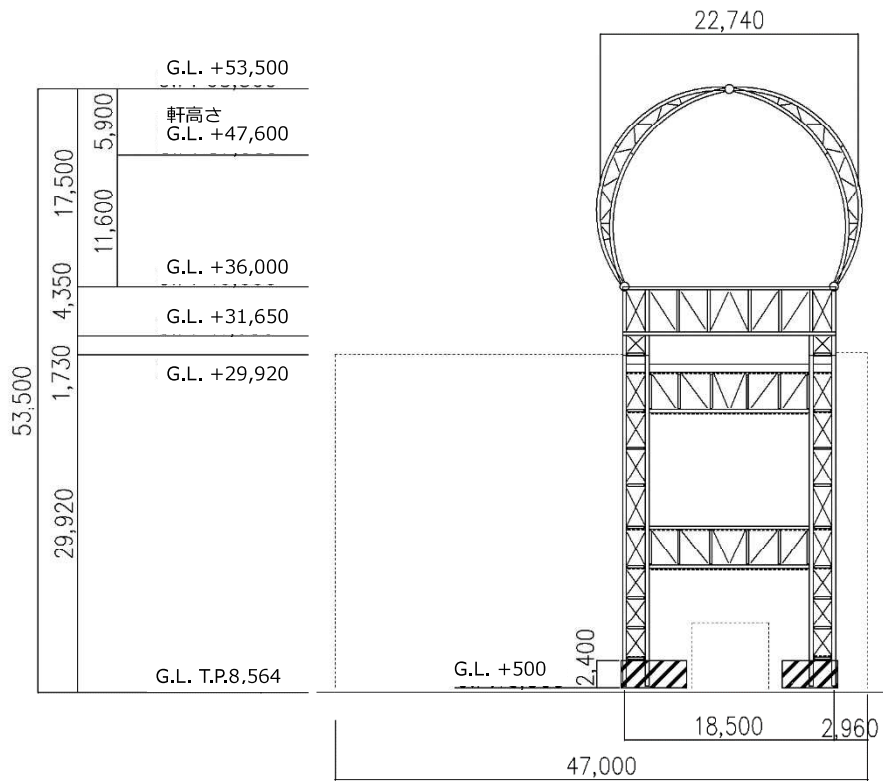


(a) 架構ガーダー部平面図 (G. L. +36, 000)

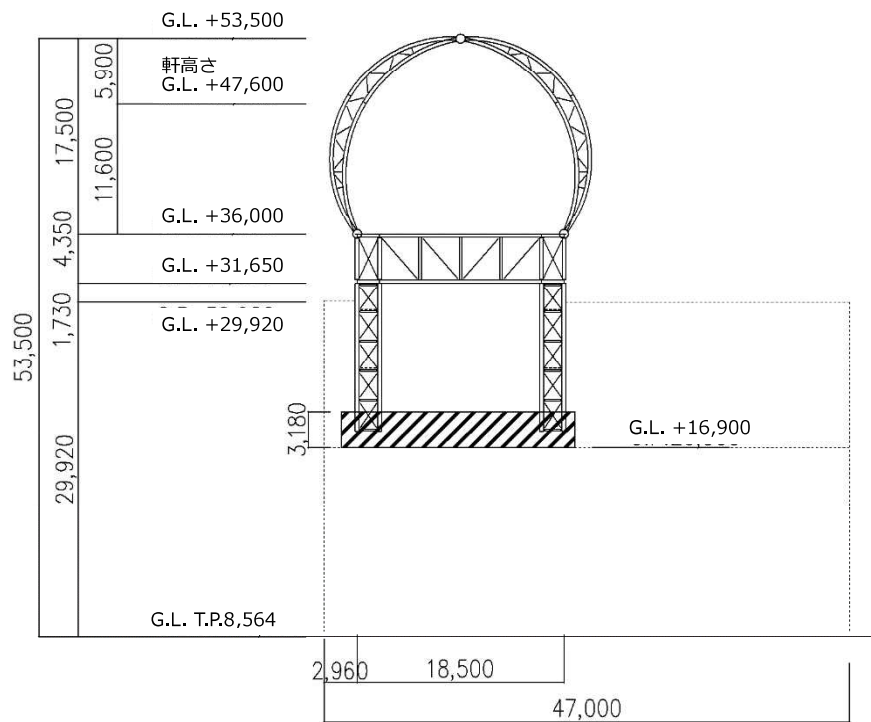


(b) 屋根伏図

図 3. 1. 2-3 燃料取り出し用カバーの概要 (単位 : mm)

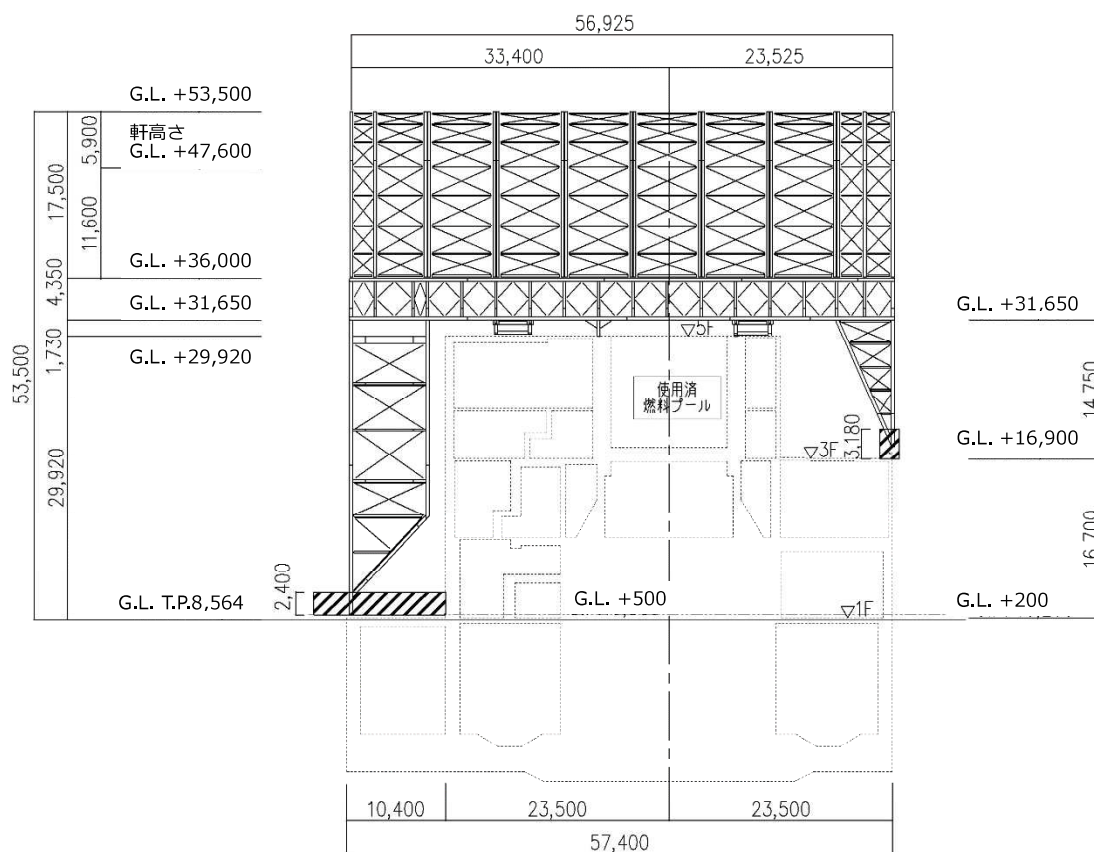


(a) 西軸組図



(b) 東軸組図

図 3.1.2-4 燃料取り出し用カバーの概要 (単位 : mm)



(a) 南軸組図

図 3. 1. 2-5 燃料取り出し用カバーの概要 (単位 : mm)

3.1.3 検討フロー

燃料取り出し用カバーの構造強度及び耐震性の検討フローを図 3.1.3-1 に示す。

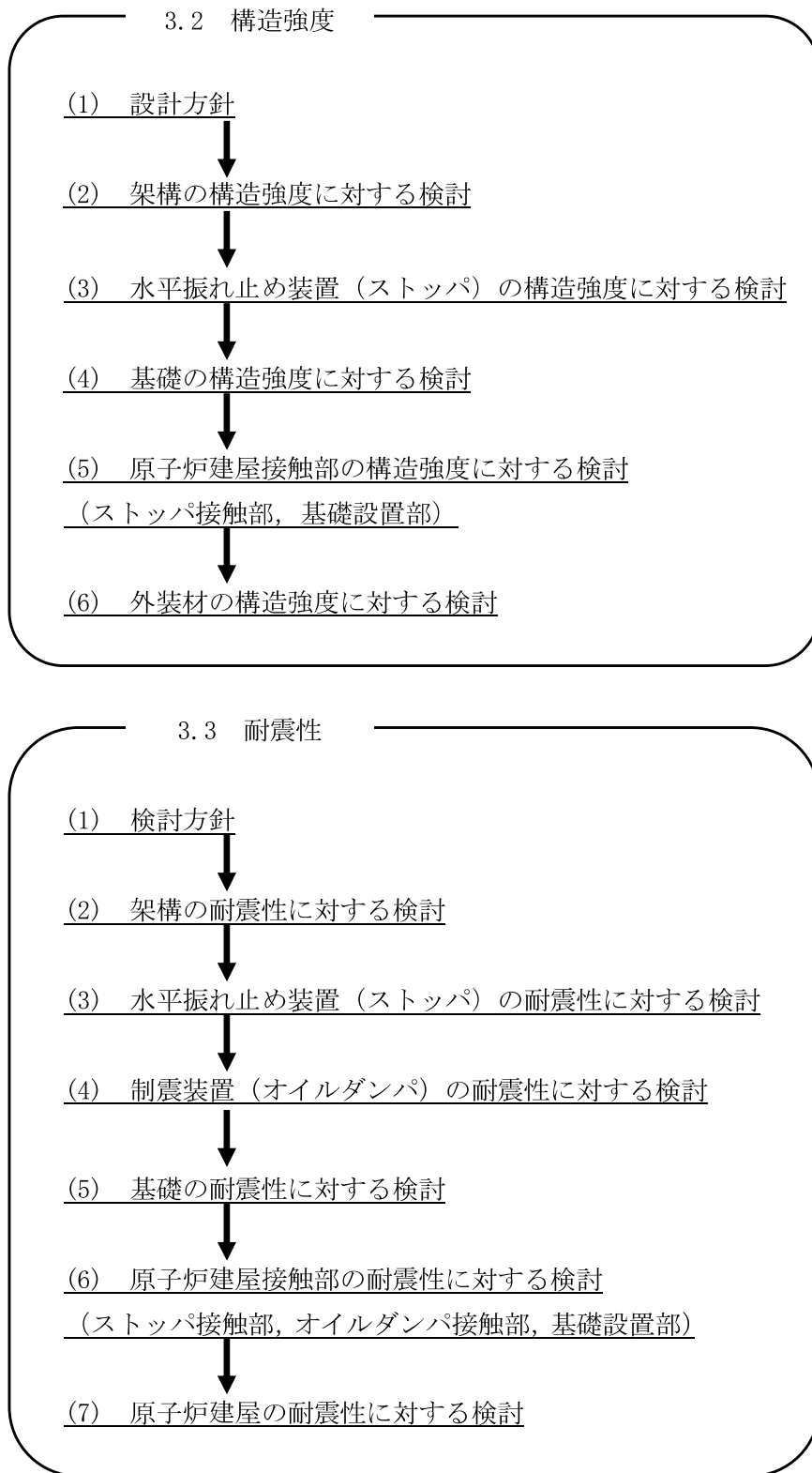


図 3.1.3-1 燃料取り出し用カバーの検討フロー

3.2 構造強度

(1) 設計方針

構造強度の検討は、門型架構及びドーム屋根、水平振れ止め装置（ストッパ）、基礎及び外装材について許容応力度設計を実施する。

1) 使用材料及び許容応力度

使用材料の物性値及び許容応力度を表 3.2-1 に示す。

表 3.2-1 使用材料の物性値及び許容応力度

材料定数				
部位	材料	ヤング係数 E (N/mm ²)	ポアソン比 ν	単位体積重量 γ (kN/m ³)
架 構	鉄骨	2.05×10^5	0.3	77.0
基 礎	コンクリート	2.27×10^4	0.2	24.0

コンクリートの許容応力度 (単位：N/mm²)

設計基準強度=24	長期			短期		
	圧縮	引張	せん断	圧縮	引張	せん断
	8.0	—	0.73	16.0	—	1.095

鉄筋の許容応力度 (単位：N/mm²)

記号	鉄筋径	長期		短期	
		引張及び圧縮	せん断補強	引張及び圧縮	せん断補強
SD345	D29 未満	215	195	345	345
	D29 以上	195			

構造用鋼材の許容応力度 (単位：N/mm²)

板厚	材料	基準強度 F	許容応力度
T ≤ 40mm	SS400, SN400B	235	「鋼構造設計規準」 に従い、左記 F の値 より求める
T > 40mm	SN400B	215	
T ≤ 40mm	SM490A, SN490B, STK490	325	
—	STKT590	440*	

* : 「JIS G 3474-2008」による

2) 荷重及び荷重組合せ

設計で考慮する荷重を以下に示す。

・鉛直荷重 (VL)

燃料取り出し用カバーに作用する鉛直方向の荷重で、固定荷重、機器荷重、配管荷重及び積載荷重とする。

・燃料取扱設備荷重 (CL)

燃料取扱設備による荷重を表 3.2-2 に示す。

表 3.2-2 燃料取扱設備荷重一覧表

燃料取扱機	788 kN
クレーン	755 kN
吊荷	461 kN

・積雪荷重 (SL)

積雪荷重は建築基準法施行令及び福島県建築基準法施行規則細則に準拠し以下の条件とする。

積雪量：30cm, 単位荷重：20N/m²/cm

・風圧力 (WL)

風圧力は建築基準法施行令第 87 条および建設省告示第 1454 号に基づき、基準風速を 30m/s, 地表面粗度区分Ⅱとして算定する。速度圧の算定結果を表 3.2-3 に示す。

表 3.2-3 速度圧の算定結果

建物高さ* H (m)	平均風速の 鉛直分布係数 Er	ガスト 影響係数 Gf	建物高さ と粗度 区分による係数 E	基準風速 Vo (m/s)	速度圧 q (N/m ²)
50.55	1.27	2.00	3.23	30	1750

*： 建物高さは、軒高さ (47.60m) と最高高さ (53.50m) の
平均値とした

・地震荷重 (K)

燃料取り出し用カバーに作用させる地震荷重は、G.L. -12.06m（原子炉建屋基礎スラブ上端レベル）を基準面とした原子炉建屋の水平地震力の算定結果より設定する。原子炉建屋の水平地震力は下式より算定し、算定結果を表 3.2-5 及び表 3.2-6 に示す。

$$Q_i = n \cdot C_i \cdot W_i$$

$$C_i = Z \cdot R_t \cdot A_i \cdot C_0$$

ここで、

Q_i : 水平地震力 (kN)

n : 施設の重要度に応じた係数 ($n=1.5$)

建築基準法で定める地震力の 1.5 倍を考慮する。

C_i : 地震層せん断力係数

W_i : 当該部分が支える重量 (kN)

ここに、燃料取り出し用カバーの設計で考慮する原子炉建屋の全体重量は、瓦礫撤去の効果と遮へい体及び燃料取り出し用カバーを新規に設置する影響を考慮した。原子炉建屋の全体重量を表 3.2-4 に示す。

表 3.2-4 原子炉建屋の全体重量(kN)

原子炉建屋全体重量*	1092200
瓦礫撤去による軽減重量	-24640
遮へい体設置による付加重量	+18000
燃料取り出し用カバー等の付加重量	+44750
燃料取り出し用カバー設計用原子炉建屋全体重量	1130310

* 「福島第一原子力発電所の原子炉建屋の現状の耐震安全性および補強等に関する検討に係る報告書（その2）」（東京電力株式会社，平成 23 年 7 月 13 日）において用いた各階重量の総計

Z : 地震地域係数 ($Z=1.0$)

R_t : 振動特性係数 ($R_t=0.8$)

A_i : 地震層せん断力係数の高さ方向の分布係数で、原子炉建屋の固有値を用いたモーダル解析法（二乗和平方根法）により求める。

C_0 : 標準せん断力係数 ($C_0=0.2$)

i 層の水平震度 k_i は、下式によって算定する。

$$P_i = Q_i - Q_{i-1}$$

$$k_i = P_i / w_i$$

ここで、

P_i : 当該階とその直下階の水平地震力の差 (kN)

w_i : 各階重量 (kN)

表 3.2-5 原子炉建屋の水平震度の算定結果 (NS 方向)

階	標高 G. L. (m)	各階重量 wi (kN)	Wi (kN)	Ai	n・Ci	Qi (kN)	Pi (kN)	水平震度 ki
5	+29.92	87590	—	—	—	—	43010	0.492
4	+29.92~+22.30	119490	87590	2.046	0.491	43010	42720	0.358
3	+22.30~+16.90	111340	207080	1.728	0.414	85730	31770	0.286
2	+16.90~+8.70	130160	318420	1.537	0.369	117500	26050	0.201
1	+8.70~+0.20	253710	448580	1.331	0.320	143550	25000	0.099
B1	+0.20~-12.06	—	702290	1.000	0.240	168550	—	—

表 3.2-6 原子炉建屋の水平震度の算定結果 (EW 方向)

階	標高 G. L. (m)	各階重量 wi (kN)	Wi (kN)	Ai	n・Ci	Qi (kN)	Pi (kN)	水平震度 ki
5	+29.92	87590	—	—	—	—	48610	0.555
4	+29.92~+22.30	119490	87590	2.311	0.555	48610	39610	0.332
3	+22.30~+16.90	111340	207080	1.775	0.426	88220	30230	0.272
2	+16.90~+8.70	130160	318420	1.552	0.372	118450	24200	0.186
1	+8.70~+0.20	253710	448580	1.323	0.318	142650	25900	0.103
B1	+0.20~-12.06	—	702290	1.000	0.240	168550	—	—

架構に作用させる水平震度は、原子炉建屋 1 階、3 階及び 5 階の水平震度を用いるものとし、水平地震力を設定する。ドーム屋根部分の水平震度は、建設省告示第 1389 号に基づく 1.0 に 1.5 を乗じて用いる。表 3.2-7 に燃料取り出し用カバーに作用させる水平地震力の算定結果を示す。

表 3.2-7 水平地震力の算定結果

標高 G. L. (m)	各階重量 wi (kN)	NS 方向		EW 方向	
		水平震度 ki	水平地震力 Pi (kN)	水平震度 ki	水平地震力 Pi (kN)
+53.50	3200	1.500	4800	1.500	4800
+36.00	11400	0.492	5609	0.555	6327
+16.90	200	0.286	57	0.272	54
+0.20	1200	0.099	119	0.103	124

・荷重組合せ

設計で考慮する燃料取扱機及びクレーンの位置を図 3.2-1 に、荷重組合せを表 3.2-8 に示す。

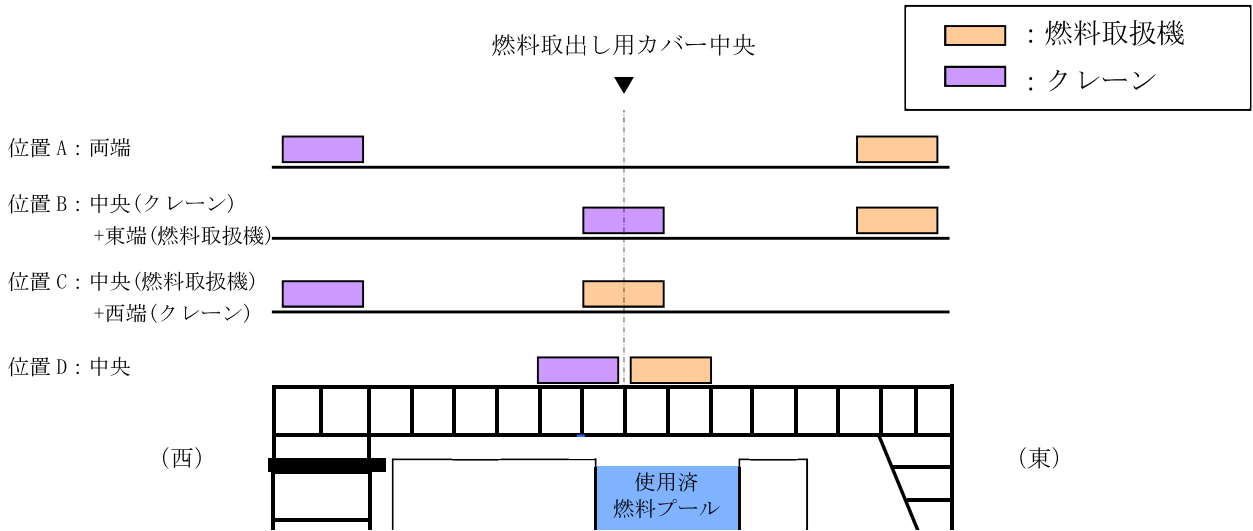


図 3.2-1 燃料取扱設備の位置

表 3.2-8 燃料取り出し用カバーの荷重組合せ

想定する状態	荷重ケース	荷重組合せ内容	許容応力度
常時	C	VL+CL ^{*1}	長期
積雪時 ^{*3}	S	VL+CL ^{*1} +SL	短期
暴風時 ^{*3}	W	VL+CL ^{*1} +WL	
地震時	E1	VL+CL ^{*1} +K(+NS) ^{*2}	
	E2	VL+CL ^{*1} +K(-NS) ^{*2}	
	E3	VL+CL ^{*1} +K(+EW) ^{*2}	
	E4	VL+CL ^{*1} +K(-EW) ^{*2}	

*1：吊荷荷重は、常時、積雪時及び暴風時は図 3.2-1 に示すクレーンの位置、地震時は使用済燃料プール直上の架構にて考慮する。

*2：地震荷重は NS 方向及び EW 方向を考慮する。

*3：短期事象では地震時が支配的であることから、積雪時及び暴風時の検討は省略する。ただし、外装材の検討は暴風時が支配的であることから暴風時に対し検討を行う。

なお、地震時と暴風時の架構の層せん断力について、風荷重の受圧面積が最大になる NS 方向で比較した結果を図 3.2-2 に示す。図 3.2-2 より、地震時の層せん断力は暴風時の層せん断力を包絡しており、支配的な荷重である。

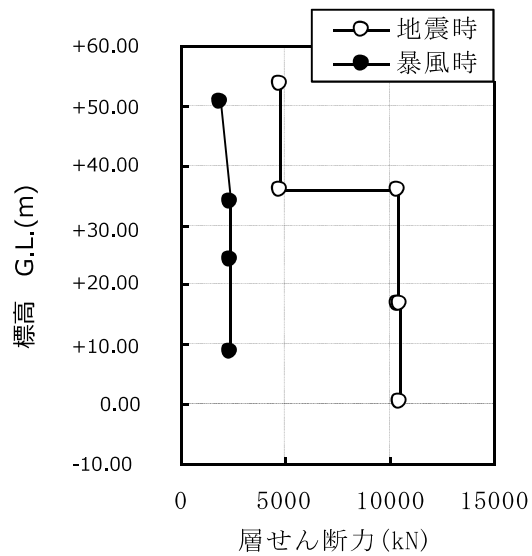


図 3.2-2 地震時と暴風時の層せん断力の比較

(2) 架構の構造強度に対する検討

1) 解析モデル

架構の解析モデルは、門型架構及びドーム屋根を構成する主要な鉄骨部材からなる立体架構モデルとする。図 3.2-3 に架構の立体解析モデルを示す。解析モデルの柱脚部はピン支持、ストップパ取り付け部は水平方向のみピン支持とする。

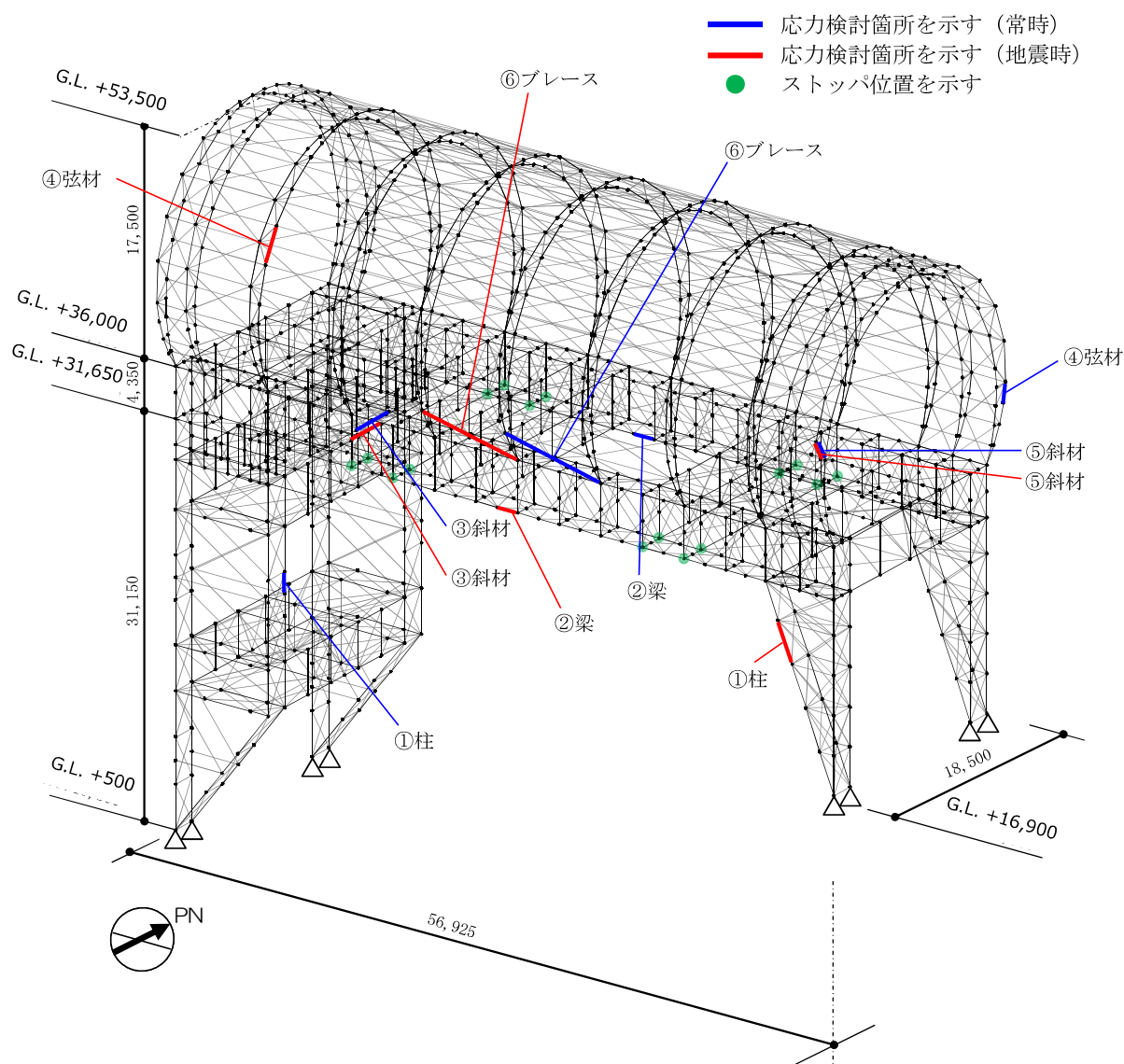


図 3.2-3 解析モデル図 (単位 : mm)

2) 断面検討

応力度比の検討は「鋼構造設計規準」に従い、軸力に対して下式にて検討を行う。

$$\cdot \text{軸圧縮の場合} \quad \frac{\sigma_c}{f_c} \leq 1$$

$$\cdot \text{軸引張の場合} \quad \frac{\sigma_t}{f_t} \leq 1$$

ここで, σ_c, σ_t : 圧縮応力度 (N/A) 及び引張応力度 (T/A) (N/mm²)

N: 圧縮力(N), T: 引張力(N), A: 断面積(mm²)

f_c : 許容圧縮応力度(N/mm²)

f_t : 許容引張応力度(N/mm²)

表 3.2-9 及び表 3.2-10 に応力度比が最大となる部位の断面検討結果を示す。
断面検討の結果, 全ての部材に対する応力度比が 1 以下になることを確認した。

表 3.2-9 断面検討結果 (常時)

部 位*1		部材形状 (mm) <使用材料>	荷重ケース (位置) *2	作用 応力度 (N/mm ²)	許容 応力度 (N/mm ²)	応力度比	判定
門型 架構	①	柱 H-350×350 ×12×19 <SM490>	C (D)	圧縮 77.4	164	0.48	O. K.
	②	梁 H-350×350 ×12×19 <SM490>	C (D)	引張 91.4	216	0.43	O. K.
	③	斜材 2[s-150×75 ×6.5×10 <SM490>	C (D)	圧縮 103.0	120	0.86	O. K.
ドーム 屋根	④	弦材 φ-318.5×6.9 <STKT590>	C (B)	引張 33.5	293	0.12	O. K.
	⑤	斜材 φ-139.8×4.5 <STK490>	C (B)	圧縮 43.4	203	0.22	O. K.
	⑥	ブレース φ-114.3×4.5 <STK490>	C (D)	圧縮 19.4	92	0.22	O. K.

*1: ①～⑥の符号は図 3.2-3 の応力検討箇所を示す

*2: 図 3.2-1 に示す燃料取扱設備の位置を示す

表 3.2-10 断面検討結果（地震時）

部 位 ^{*1}		部材形状 (mm) 〈使用材料〉	荷重ケース (位置) ^{*2}	作用 応力度 (N/mm ²)		許容 応力度 (N/mm ²)	応力度比	判定	
門型 架構	①	柱	H-350×350 ×12×19 〈SM490〉	E1 (D)	圧縮	138.9	289	0.49	O. K.
	②	梁	H-350×350 ×12×19 〈SM490〉	E1 (D)	引張	108.3	324	0.34	O. K.
	③	斜材	2[s-150×75 ×6.5×10 〈SM490〉	E1 (D)	圧縮	164.5	180	0.92	O. K.
ドーム 屋根	④	弦材	φ-267.4×6.6 〈STKT590〉	E1 (D)	圧縮	155.2	396	0.40	O. K.
	⑤	斜材	φ-139.8×4.5 〈STK490〉	E3 (A)	圧縮	165.8	304	0.55	O. K.
	⑥	ブレース	φ-114.3×4.5 〈STK490〉	E3 (D)	圧縮	80.6	138	0.59	O. K.

*1：①～⑥の符号は図 3.2-3 の応力検討箇所を示す

*2：図 3.2-1 に示す燃料取扱設備の位置を示す

(3) 水平振れ止め装置（ストップ）の構造強度に対する検討

原子炉建屋の5階床上面2か所に鋼製のストップを設置し、架構に発生する水平力を、ストップを介して原子炉建屋に支持させる。原子炉建屋へは、5階床の床開口部に突出させた強固なシアキにより水平力を伝達させる。図3.2-4にストップ概要図を示す。

ストップについては、架構と原子炉建屋を結んだバネ材に発生する水平力の最大値が、床開口に差し込むシアキの短期許容せん断力以下であることを確認する。

なお、原子炉建屋と水平振れ止め装置（ストップ）の接触部については、不具合が見つかった場合には適切に補修等を実施する。

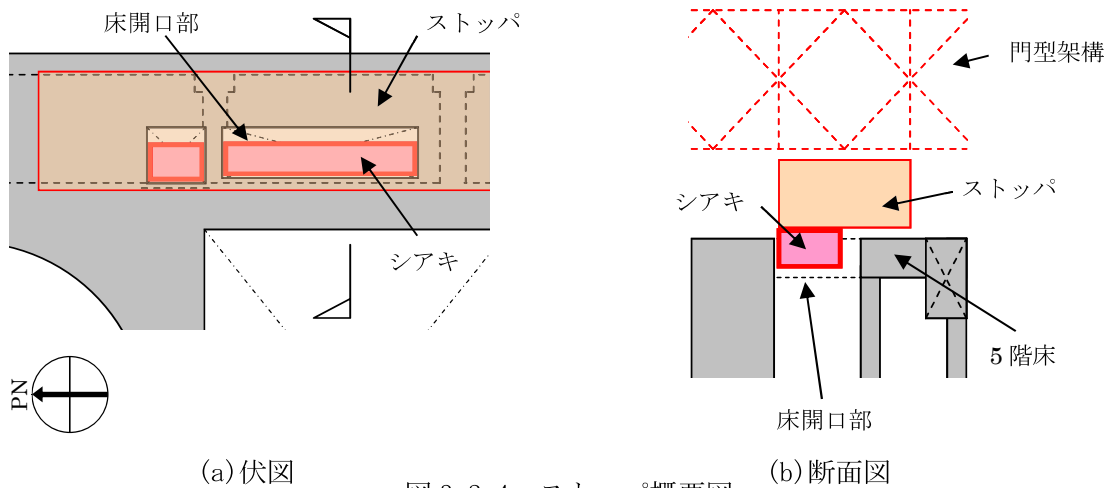


図 3.2-4 ストップ概要図

シアキの許容せん断力は下式より算定し、表3.2-11に応力比が最大となる部位の断面検討結果を示す。

断面検討の結果、全てのストップに対する応力比が1以下になることを確認した。

$$Q_a = A \cdot f_s$$

ここに、

Q_a : 短期許容せん断力 (kN)

A : シアキの断面積 (mm^2)

f_s : 短期許容せん断応力度 (N/mm^2) (SM490A)

表 3.2-11 ストップ（シアキ）の断面検討結果

部位	荷重ケース (位置)*	ストップ反力 Q (kN)	短期許容せん断力 Qa (kN)	応力比 Q/Qa	判定
東側ストップ	E4 (A)	2560	8620	0.30	O. K.

* : 図 3.2-1 に示す燃料取扱設備の位置を示す

(4) 基礎の構造強度に対する検討

架構の基礎は独立フーチング基礎とし、西側柱脚部は原子炉建屋の地下1階壁の直上に設置し、

東側柱脚部は原子炉建屋2階壁の直上に設置して基礎反力が原子炉建屋を介して地盤に伝わるようにする。ここでは、基礎の浮き上がりに対しては基礎反力（圧縮力を正）の最小値が0以上であることを確認し、基礎のすべりに対しては基礎反力の水平力が許容摩擦力以下であることを確認する。

なお、基礎底面の摩擦係数は「現場打ち同等型プレキャスト鉄筋コンクリート構造設計指針(案)・同解説(2002)」に準じて、特に先打ちコンクリート表面に処理をしない場合の後打ちコンクリートとの境界面で設定する0.6(普通コンクリートの場合)とする。

表 3.2-12 に基礎反力が最小となる部位の基礎浮き上がりの検討結果を示す。

基礎浮き上がりの検討の結果、全ての基礎の最小圧縮力が0以上であることを確認した。

表 3.2-12 基礎浮き上がりの検討結果

部位	荷重ケース (位置) *	最小圧縮力 N (kN)	判定
東側柱脚 (北側)	E1 (C)	1990	0. K.

* : 図 3.2-1 に示す燃料取扱設備の位置を示す

許容摩擦力は下式より算定し、表 3.2-13 に応力比が最大となる部位の検討結果を示す。

基礎すべりの検討の結果、全ての基礎に対する応力比が1以下になることを確認した。

$$V_a = \mu(N + R)$$

ここに、

V_a : 許容摩擦力 (kN)

μ : 摩擦係数 (μ=0.6)

N : 基礎重量 (kN)

R : 基礎上端の架構の鉛直反力 (kN)

表 3.2-13 基礎すべりの検討結果

部位	荷重ケース (位置) *	水平力 Q (kN)	許容摩擦力 V _a (kN)	応力比 Q/V _a	判定
東側柱脚	C (D)	2410	5270	0.46	0. K.
	E4 (D)	2430	4580	0.54	0. K.

* : 図 3.2-1 に示す燃料取扱設備の位置を示す

(5) 原子炉建屋接触部の構造強度に対する検討

1) ストップ接触部

ストップ接触部の構造強度の検討では、ストップ水平反力が、既存躯体の短期許容支圧力以下になることを確認する。なお、許容支圧応力度は、原子炉建屋の設計基準強度(22.1N/mm²)を用いて「プレレストレストコンクリート設計施工規準・同解説」に基づき算出する。

短期許容支圧力 N_a は下式より算定し、表 3.2-14 に応力比が最大となる部位の検討結果を示す。検討の結果、全てのストップ接触部に対する応力比が 1 以下になることを確認した。

$$N_a = f_n \cdot A_l$$

$$f_n = f_{na} \sqrt{\frac{A_c}{A_l}} \quad \text{ただし,} \quad \sqrt{\frac{A_c}{A_l}} \leq 2.0$$

ここに、

f_n : 短期許容支圧応力度 (N/mm²)

f_{na} : $F_{ci}/1.25$ または $0.6F_c$ のうち小さいほうの値 (N/mm²)

F_{ci} : コンクリート強度、特に定めのない場合には 20N/mm^2 ($F_c=22.1\text{N/mm}^2$)

A_c : 支圧端から離れて応力が一様分布となったところのコンクリートの支承面積 (mm²)

A_l : 局部圧縮を受ける支圧面積 (mm²)

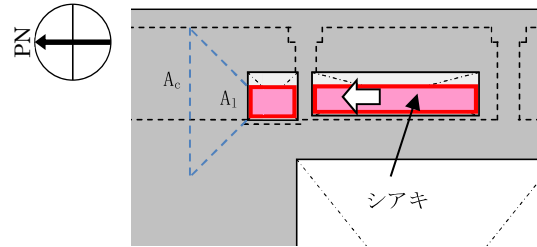


表 3.2-14 ストップ接触部の検討結果

部位	荷重ケース (位置) *	ストップ水平反力 N (kN)	短期許容支圧力 N_a (kN)	応力比 N/ N_a	判定
東側ストップ	E2 (B)	3980	10300	0.39	O. K.

* : 図 3.2-1 に示す燃料取扱設備の位置を示す

2) 基礎設置部

架構の西側脚部は原子炉建屋 1 階レベル (G.L. +0.2m) で支持し、東側脚部は原子炉建屋 3 階レベル (G.L. +16.9m) で支持している。基礎設置部については、柱脚の鉛直反力により生じる直下壁の軸力が壁の許容軸力以下であることを確認する。

許容軸力 N_a は下式より算定し、表 3.2-15 に応力比が最大となる部位の検討結果を示す。

検討の結果、全ての基礎設置部に対する応力比が 1 以下になることを確認した。

$${}_L N_a = {}_L f_c \cdot A_l \quad , \quad {}_S N_a = {}_S f_c \cdot A_l$$

ここに、

${}_L f_c$: 長期許容圧縮応力度 (N/mm²) (${}_L f_c = 22.1 \times 1/3 = 7.4$)

${}_S f_c$: 短期許容圧縮応力度 (N/mm²) (${}_S f_c = 22.1 \times 2/3 = 14.7$)

A_l : 柱脚部支配面積 (mm²)

表 3. 2-15 壁の圧縮力の検討結果

部位	荷重ケース (位置) *	軸力 N (kN)	許容軸力 Na (kN)	応力比 N/Na	判定
東側柱脚 (南側)	C (B)	4280	12900	0.34	O. K.
	E1 (B)	6540	25900	0.26	O. K.

* : 図 3. 2-1 に示す燃料取扱設備の位置を示す

(6) 外装材の構造強度に対する検討

1) 検討箇所

架構の屋根面及び側面を覆う外装材は、折板を用いる。強度検討は、壁材、屋根材それぞれに風圧力により生じる応力度が短期許容応力度以下であることを確認する。なお、短期事象においては、暴風時の影響が支配的であることから、積雪時及び地震時の検討は省略する。検討箇所を図 3.2-5 に示す。

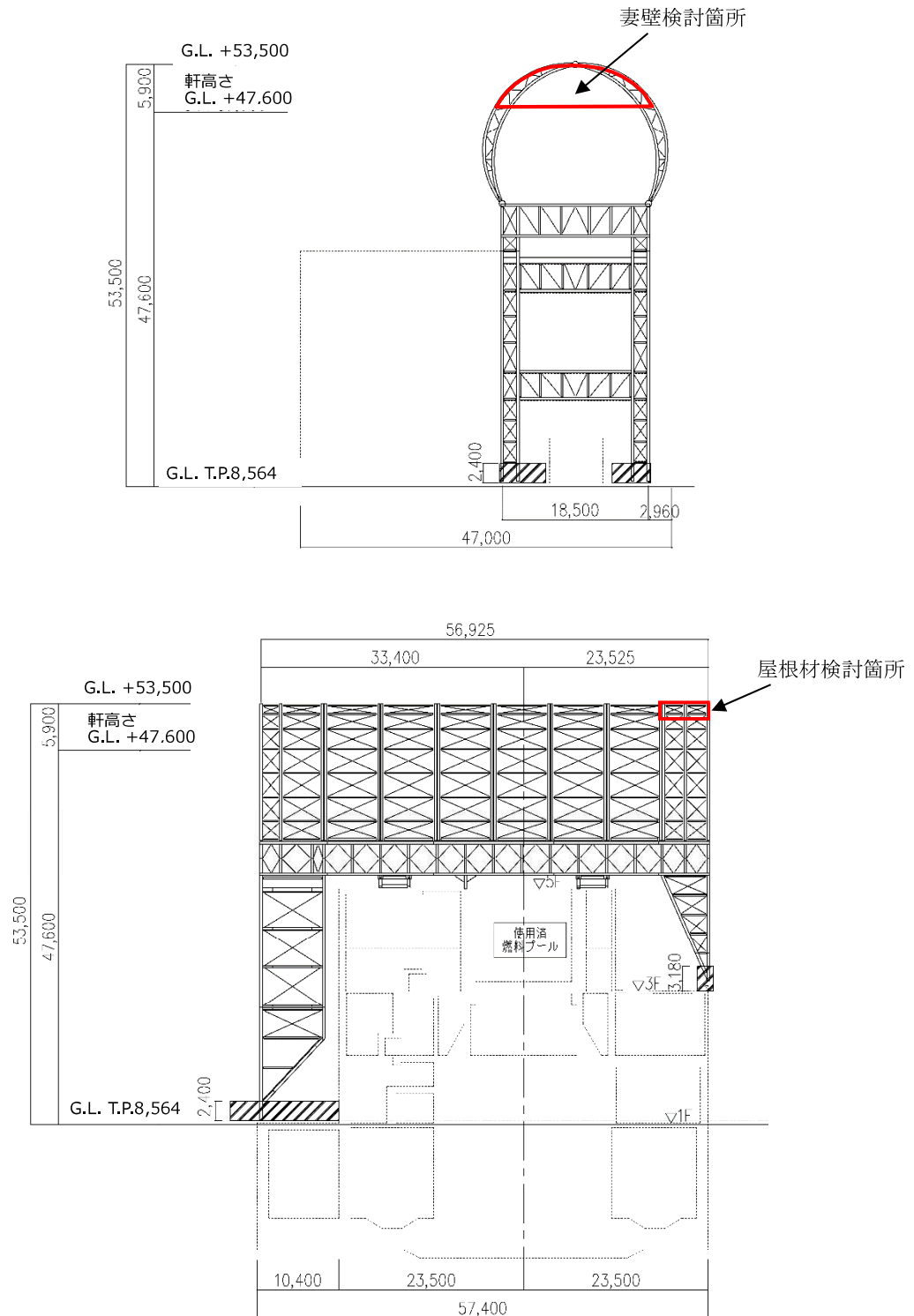


図 3.2-5 外装材検討箇所 (単位 : mm)

2) 設計用荷重の算定

設計用風圧力は、建築基準法施行令第 82 条の 4 および建設省告示第 1458 号に基づき、基準風速 30m/s、地表面粗度区分Ⅱとして算定する。速度圧の算定結果を表 3.2-16 に、ピーク風力係数を表 3.2-17 に、風力係数の算定箇所を図 3.2-6 に示す。

表 3.2-16 速度圧の算定結果

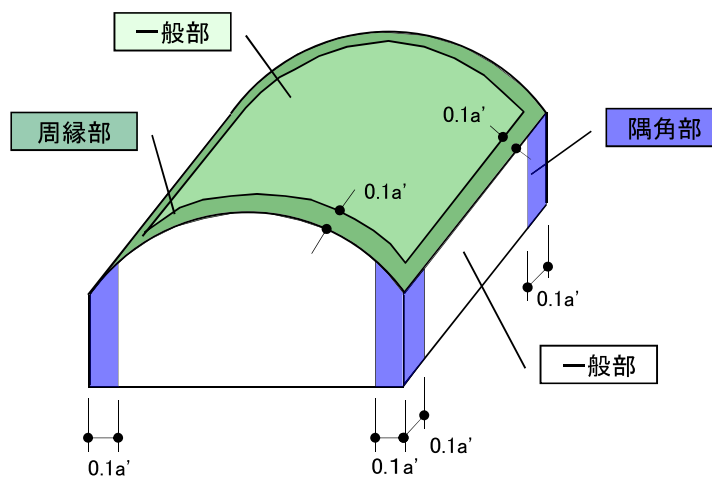
建物高さ*	平均風速の高さ方向の分布を表す係数	基準風速	平均速度圧
H (m)	E_r	V_0 (m/s)	q (N/m ²)
50.55	1.27	30	871

*: 建物高さは、軒高さ (47.60m) と最高高さ (53.50m) の平均値とした

表 3.2-17 ピーク風力係数

建物高さ* H (m)	屋根面		妻壁面	
	一般部	周縁部	一般部	隅角部
50.55	-2.5	-3.2	-2.02	-2.5

*: 建物高さは、軒高さ (47.60m) と最高高さ (53.50m) の平均値とした



a' は平面の短辺の長さ H の 2 倍の数値のうちいずれか小さな数値 (30 を超えるときは、30 とする) (単位 : m)

図 3.2-6 風力係数の算定箇所

3) 外装材の強度検討

検討は、応力が厳しくなる部位について行う。ここでは、折板の自重は考慮しないものとする。折板の間隔はドーム屋根が 3.4m で連続支持、妻壁が 4.0m で単純支持されているものと仮定する。屋根材及び壁材の材料諸元を表 3.2-18 に示す。また、検討結果を表 3.2-19 に示す。断面検討の結果、全ての外装材に対する応力度比が 1 以下になることを確認した。

表 3.2-18 屋根材及び壁材の材料諸元

板厚	自重	正曲げ方向		負曲げ方向	
		断面 2 次 モーメント	断面係数	断面 2 次 モーメント	断面係数
t (mm)	G (N/m ²)	I _x (cm ⁴ /m)	Z _x (cm ³ /m)	I _x (cm ⁴ /m)	Z _x (cm ³ /m)
0.8	118	360	43.6(13.1*)	347	40.6(12.2*)

* : 括弧内の数値は折曲加工部を示す

表 3.2-19 応力度に対する検討結果

部位	作用応力度 (N/mm ²)	許容応力度 (N/mm ²)	応力度比	判定
ドーム屋根	189	205*	0.93	O. K.
妻壁	109	205*	0.54	O. K.

* : 「JIS G 3321-2010」による

・ 応力度に対する検討

① ドーム屋根

$$w = 871 \times (-3.20) = -2790 \text{ (N/m}^2\text{)}$$

$$M = (9/128) \times w \times L^2 = (9/128) \times (-2790) \times 3.4^2 \times 10^{-3} = -2.3 \text{ (kNm/m)}$$

$$\sigma_b = M/Z = 2.3 \times 10^6 / (12.2 \times 10^3) = 189 \text{ (N/mm}^2\text{)}$$

$$\sigma_b / f_b = 189 / 205 = 0.93 \leq 1.0 \quad \text{OK}$$

② 妻壁

$$w = 871 \times (-2.50) = -2180 \text{ (N/m}^2\text{)}$$

$$M = (1/8) \times w \times L^2 = (1/8) \times (-2180) \times 4.0^2 \times 10^{-3} = -4.4 \text{ (kNm/m)}$$

$$\sigma_b = M/Z = 4.4 \times 10^6 / (40.6 \times 10^3) = 109 \text{ (N/mm}^2\text{)}$$

$$\sigma_b / f_b = 109 / 205 = 0.54 \leq 1.0 \quad \text{OK}$$

3.3 耐震性

(1) 検討方針

耐震性の検討は、架構、水平振れ止め装置（ストッパ）、制震装置（オイルダンパ）、基礎、原子炉建屋接触部及び原子炉建屋の健全性について行い、基準地震動 S_s に対して、これらの応答性状を適切に表現できる地震応答解析を用いて評価する。なお、地震応答解析は水平方向及び鉛直方向を同時に入力する。

(2) 架構の耐震性に対する検討

1) 解析に用いる入力地震動

検討に用いる地震動は、「福島第一原子力発電所『発電用原子炉施設に関する耐震設計審査指針』の改訂に伴う耐震安全性評価結果 中間報告書」（東京電力株式会社，平成 20 年 3 月 31 日）にて作成した解放基盤表面で定義される基準地震動 S_s とする。

地震応答解析に用いる入力地震動の概念図を図 3.3-1 に示す。モデルに入力する地震動は一次元波動論に基づき、解放基盤表面で定義される基準地震動 S_s に対する地盤の応答として評価する。解放基盤表面位置（G.L. -206.0m（震災前 O.P. -196.0m））における基準地震動 S_s-1 、 S_s-2 及び S_s-3 の加速度時刻歴波形を図 3.3-2(1) 及び図 3.3-2(2) に示す。

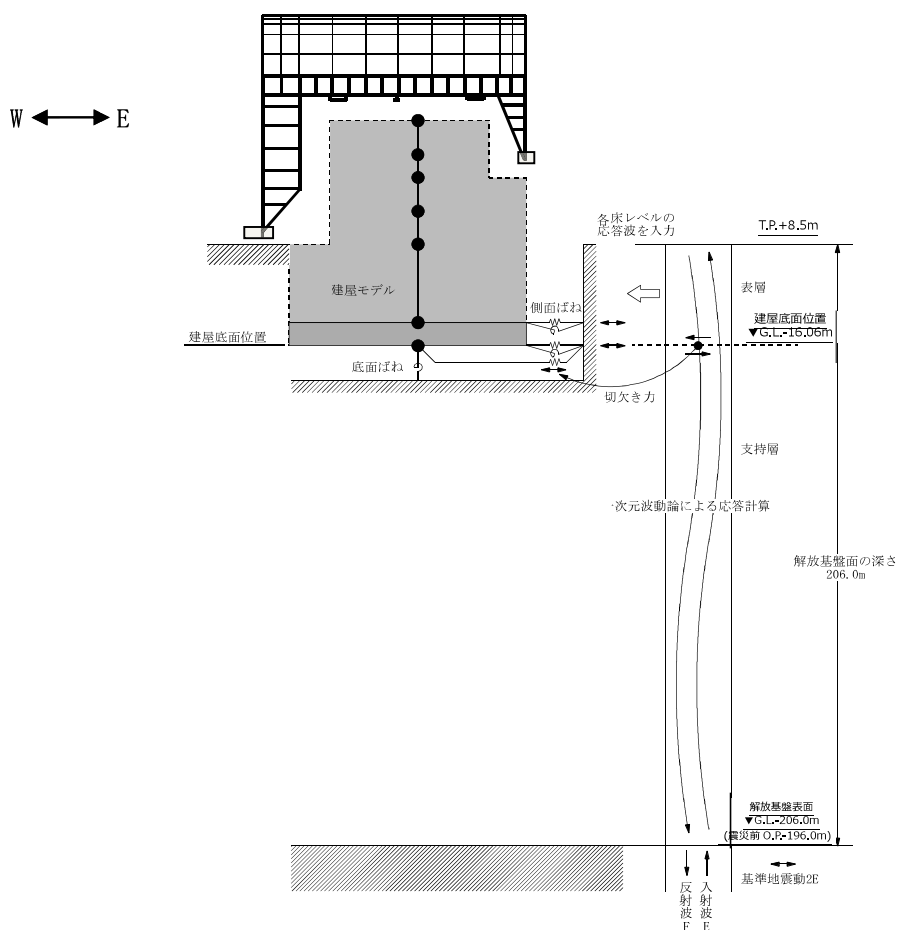
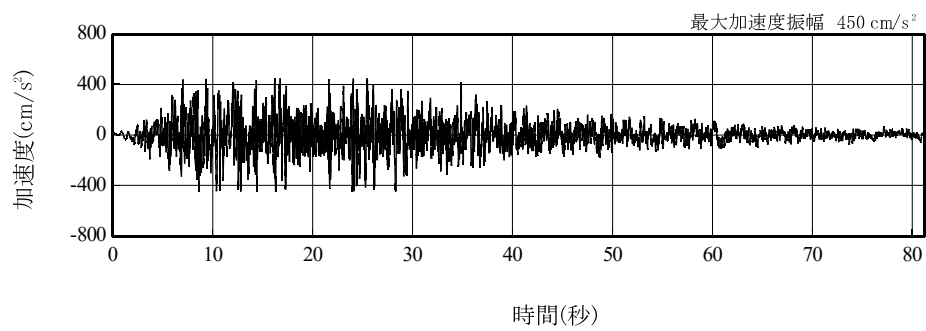
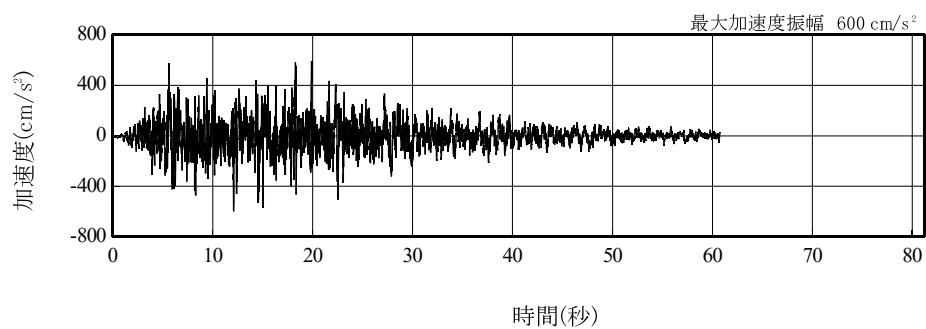


図 3.3-1 地震応答解析に用いる入力地震動の概念図

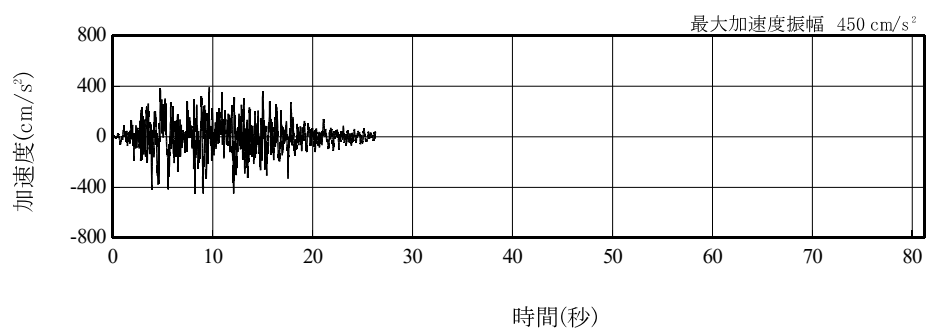
本章に記載の標高は、震災後の地盤沈下量(-709mm)と O.P.から T.P.への読替値(-727mm)を用いて、下式に基づき換算している。
 <換算式> T.P.=旧 O.P.-1,436mm



(Ss-1H)

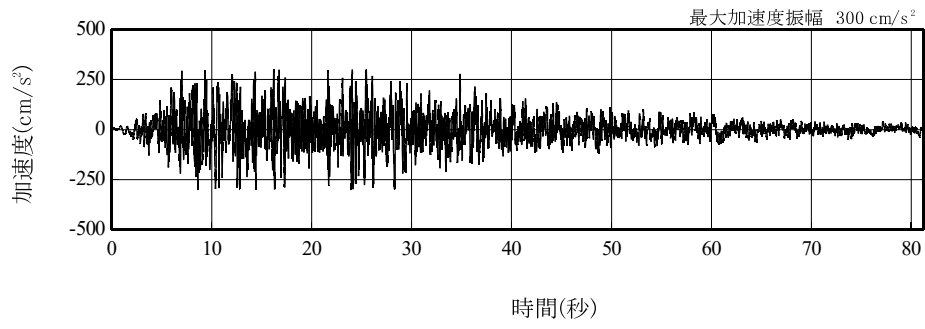


(Ss-2H)

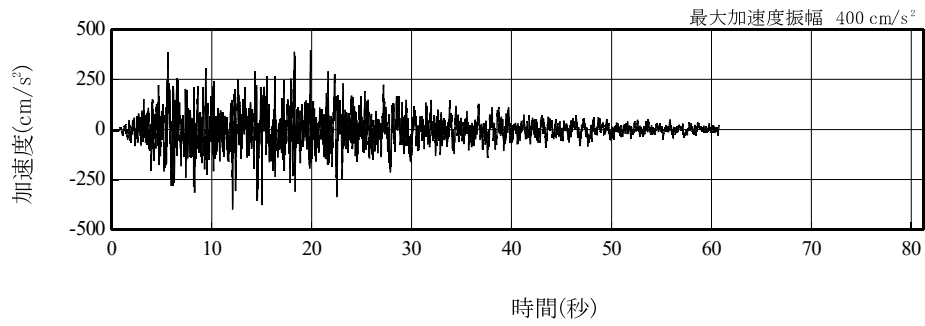


(Ss-3H)

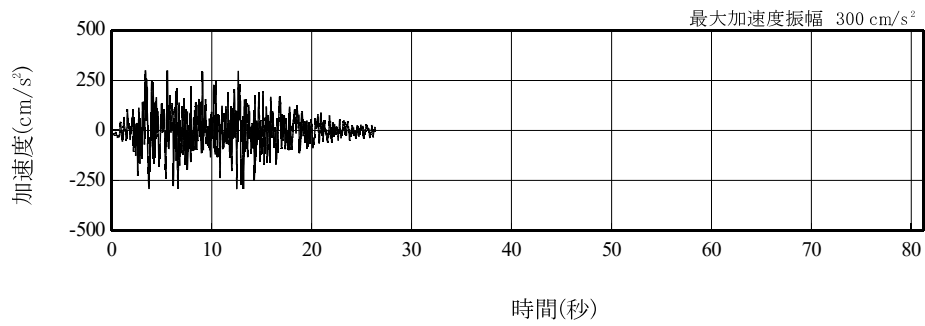
図 3.3-2(1) 解放基盤表面位置における地震動の加速度時刻歴波形(水平方向)



(Ss-1V)



(Ss-2V)



(Ss-3V)

図 3. 3-2 (2) 解放基盤表面における地震動の加速度時刻歴波形
(鉛直方向)

2) 地震応答解析モデル

地震応答解析モデルは、門型架構及びドーム屋根を構成する主要な鉄骨部材からなる立体架構を原子炉建屋の質点系モデルに接続した図 3.3-3 に示すモデルとし、地盤を等価ばねで評価した建屋-地盤連成系モデルとする。ストップ取り付け部は原子炉建屋 5 階質点 (G.L.+29.92m) と水平方向同一変位条件とし、鉛直方向の制震装置 (オイルダンパ) は原子炉建屋の 5 階床上面 4 箇所に門型架構と 5 階床の鉛直方向相対変位が減少する場合に減衰力を発揮するばねに置換して立体架構モデルに組み込んでいる。

地震応答解析に用いる物性値を表 3.3-1 に示す。門型架構及びドーム屋根の部材接合部の質点は仕上げ材等を考慮した重量とし、原子炉建屋の質点は瓦礫撤去の重量等を反映した表 3.3-2 に示す重量とする。門型架構の柱・梁及びドーム屋根の弦材は弾性部材とし、その他ブレース等は「鉄骨 X 型ブレース架構の復元力特性に関する研究」(日本建築学会構造工学論文集 37B 号 1991 年 3 月) に示されている修正若林モデルによる。また、原子炉建屋は、曲げとせん断に「JEAG 4601-1991」に示されている非線形特性を考慮する。

地盤定数は、「福島第一原子力発電所『発電用原子炉施設に関する耐震設計審査指針』の改訂に伴う耐震安全性評価結果 中間報告書」(東京電力株式会社, 平成 20 年 3 月 31 日) と同様とし、その結果を表 3.3-3 に示す。原子炉建屋の地盤ばねは、「JEAG 4601-1991」に示されている手法を参考にして、底面地盤を成層補正し振動アドミッタンス理論によりスウェイ及びロッキングばねを、側面地盤を Novak の方法により建屋側面ばねを評価した。

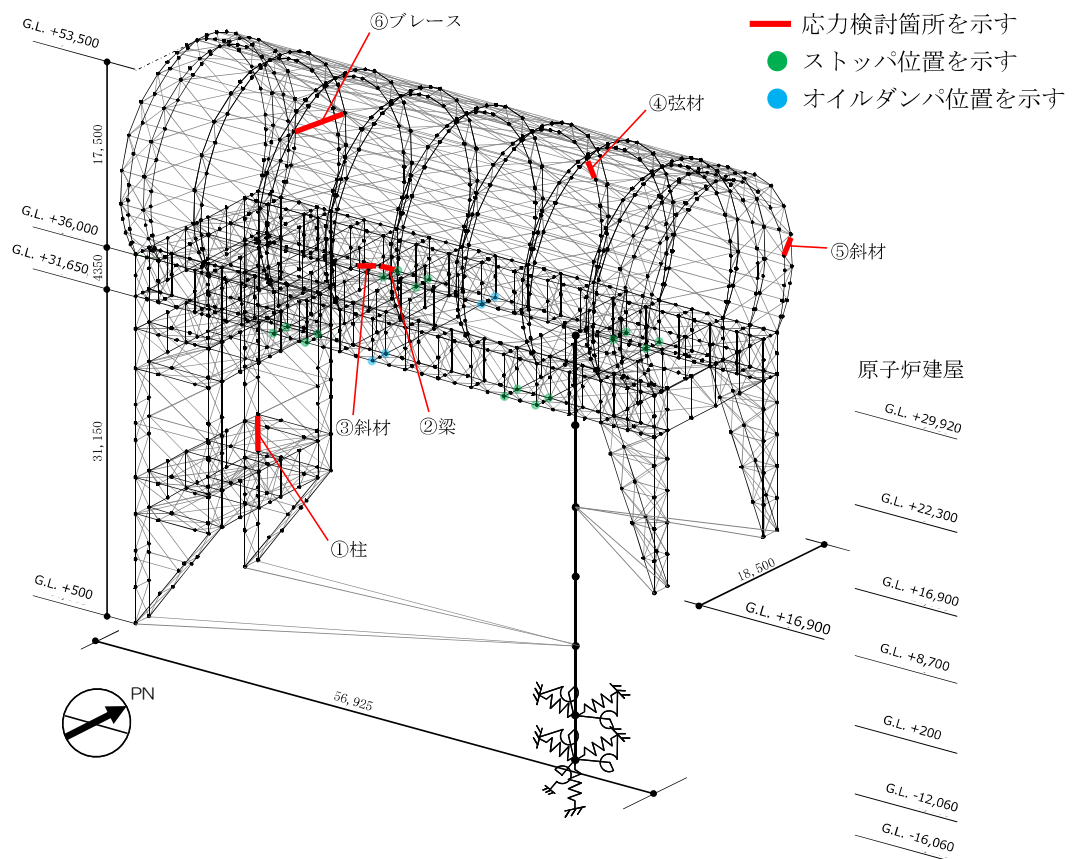


図 3.3-3 地震応答解析モデル (単位: mm)

表 3.3-1 地震応答解析に用いる物性値

部位	材料	ヤング係数 E (N/mm ²)	ポアソン比 ν	単位体積重量 γ (kN/m ³)	減衰定数 h (%)	備考
架構	鉄骨	2.05×10^5	0.3	77.0	2	SS400, SM490A STK490, STKT590

表 3.3-2 地震応答解析モデルのうち原子炉建屋の地震応答解析モデルの諸元

(a) 水平 (NS) 方向

標高 G. L. (m)	質点重量* W (kN)	回転慣性重量 I _G ($\times 10^5$ kN \cdot m ²)	せん断断面積 A _s (m ²)	断面二次モーメント I (m ⁴)
+29.92	72990	76.95		
			145.3	9598
+22.3	119490	238.33		
			146.1	29271
+16.9	111140	204.58		
			237.3	56230
+8.7	130160	239.58		
			208.6	60144
+0.2	252510	464.88		
			458.7	112978
-12.06	301020	554.17		
			2697.8	496620
-16.06	127000	233.79		
合計	1114310		ヤング係数 E _c 2.57 $\times 10^7$ (kN/m ²) せん断弾性係数 G 1.07 $\times 10^7$ (kN/m ²) ポアソン比 ν 0.20 減衰 h 5%	

* 「福島第一原子力発電所の原子炉建屋の現状の耐震安全性および補強等に関する検討に係る報告書（その2）」（東京電力株式会社，平成23年7月13日）において用いた各階重量に瓦礫撤去等による重量増減を考慮した数値（ただし，門型架構の重量12800kN及びドーム屋根重量3200kNは含まない）

表 3.3-2 地震応答解析モデルのうち原子炉建屋の地震応答解析モデルの諸元

(b) 水平 (EW) 方向

標高 G. L. (m)	質点重量* W (kN)	回転慣性重量 $I_G (\times 10^5 \text{ kN}\cdot\text{m}^2)$	せん断断面積 $A_S (\text{m}^2)$	断面二次モーメント I (m^4)
+29.92	72990	56.10		
			61.9	5665
+22.3	119490	124.49		
			123.4	12460
+16.9	111140	204.58		
			204.1	41352
+8.7	130160	239.58		
			226.6	61084
+0.2	252510	693.32		
			431.3	135128
-12.06	301020	826.50		
			2697.8	740717
-16.06	127000	348.72		
合計	1114310			
		ヤング係数 E_c	$2.57 \times 10^7 (\text{kN}/\text{m}^2)$	
		せん断弾性係数 G	$1.07 \times 10^7 (\text{kN}/\text{m}^2)$	
		ポアソン比 ν	0.20	
		減衰 h	5%	

(c) 鉛直方向

標高 G. L. (m)	質点重量* W (kN)	軸断面積 $A_N (\text{m}^2)$	軸ばね剛性 $K_A (\times 10^8 \text{ kN}/\text{m})$
+29.92	72990		
		192.0	6.48
+22.3	119490		
		266.3	12.67
+16.9	111140		
		431.7	13.53
+8.7	130160		
		423.0	12.79
+0.2	252510		
		691.2	14.49
-12.06	301020		
		2697.8	173.33
-16.06	127000		
合計	1114310		
		ヤング係数 E_c	$2.57 \times 10^7 (\text{kN}/\text{m}^2)$
		せん断弾性係数 G	$1.07 \times 10^7 (\text{kN}/\text{m}^2)$
		ポアソン比 ν	0.20
		減衰 h	5%

* 「福島第一原子力発電所の原子炉建屋の現状の耐震安全性および補強等に関する検討に係る報告書(その2)」(東京電力株式会社, 平成23年7月13日)において用いた各階重量に瓦礫撤去等による重量増減を考慮した数値(ただし, 門型架構の重量12800kN及びドーム屋根重量3200kNは含まない)

表 3.3-3 地盤定数の設定結果

(a) Ss-1

標高 G. L. (m)	地質	せん断波 速度 Vs (m/s)	単位体積 重量 γ (kN/m ³)	ポアソン 比 ν	せん断 弾性係数 G (×10 ⁵ kN/m ²)	初期せん断 弾性係数 G ₀ (×10 ⁵ kN/m ²)	剛性 低下率 G/G ₀	ヤング 係数 E (×10 ⁵ kN/m ²)	減衰 定数 h (%)	層厚 H (m)
0.0	砂岩	380	17.8	0.473	2.23	2.62	0.85	6.57	3	8.1
-8.1		450	16.5	0.464	2.66	3.41	0.78	7.79	3	11.9
-20.0	泥岩	500	17.1	0.455	3.40	4.36	0.78	9.89	3	70.0
-90.0		560	17.6	0.446	4.39	5.63	0.78	12.70	3	28.0
-118.0		600	17.8	0.442	5.09	6.53	0.78	14.68	3	88.0
-206.0 (震災前 0.P.-196.0)		(解放基盤)	700	18.5	0.421	9.24	9.24	1.00	26.26	-

(b) Ss-2

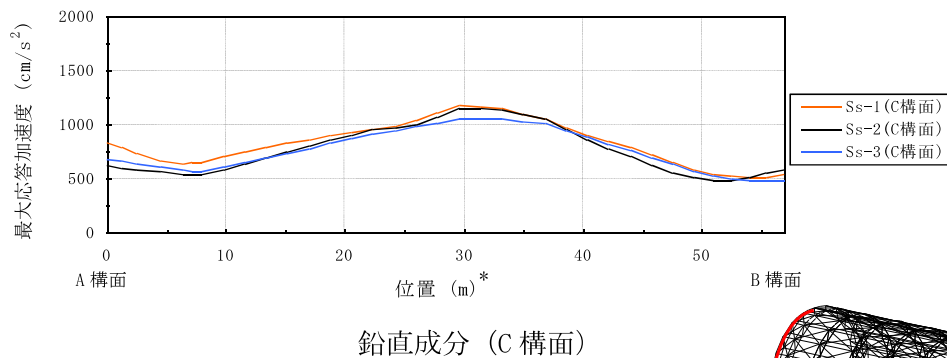
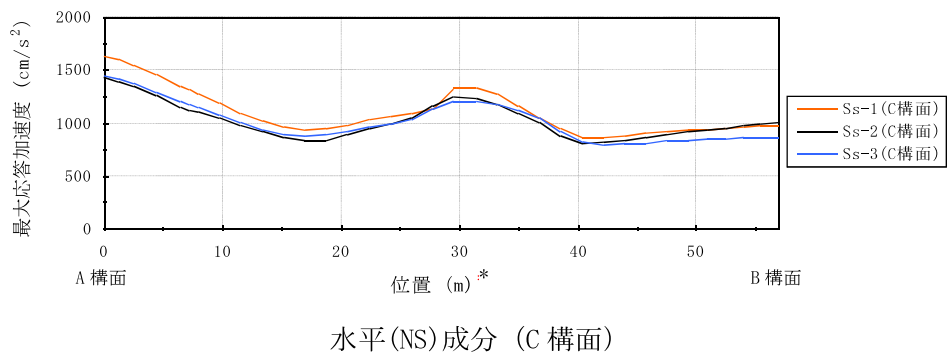
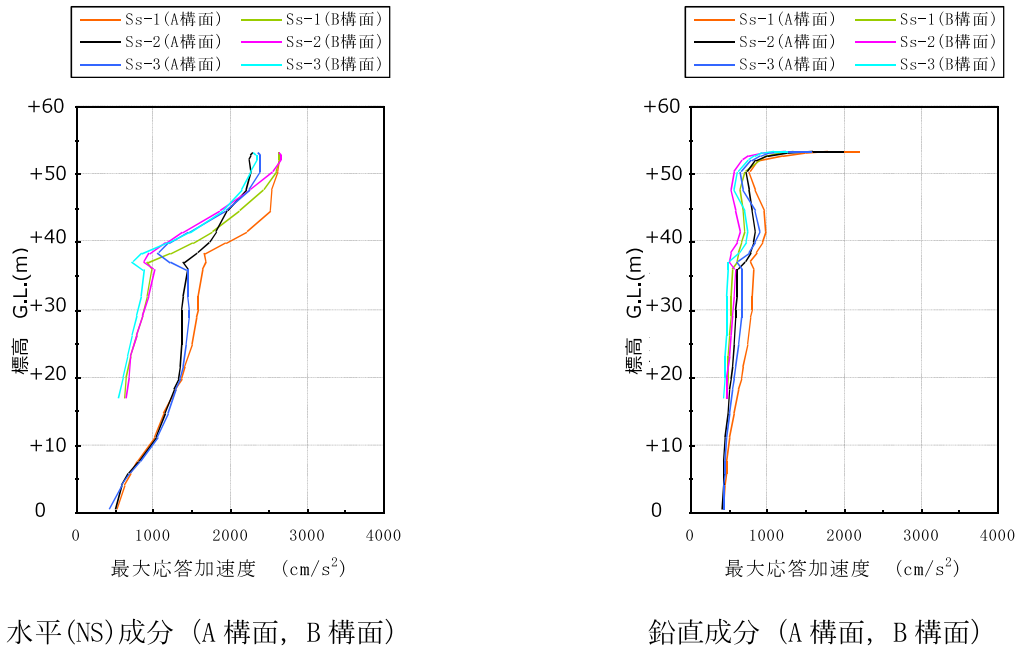
標高 G. L. (m)	地質	せん断波 速度 Vs (m/s)	単位体積 重量 γ (kN/m ³)	ポアソン 比 ν	せん断 弾性係数 G (×10 ⁵ kN/m ²)	初期せん断 弾性係数 G ₀ (×10 ⁵ kN/m ²)	剛性 低下率 G/G ₀	ヤング 係数 E (×10 ⁵ kN/m ²)	減衰 定数 h (%)	層厚 H (m)
0.0	砂岩	380	17.8	0.473	2.23	2.62	0.85	6.57	3	8.1
-8.1		450	16.5	0.464	2.76	3.41	0.81	8.08	3	11.9
-20.0	泥岩	500	17.1	0.455	3.53	4.36	0.81	10.27	3	70.0
-90.0		560	17.6	0.446	4.56	5.63	0.81	13.19	3	28.0
-118.0		600	17.8	0.442	5.29	6.53	0.81	15.26	3	88.0
-206.0 (震災前 0.P.-196.0)		(解放基盤)	700	18.5	0.421	9.24	9.24	1.00	26.26	-

(c) Ss-3

標高 G. L. (m)	地質	せん断波 速度 Vs (m/s)	単位体積 重量 γ (kN/m ³)	ポアソン 比 ν	せん断 弾性係数 G (×10 ⁵ kN/m ²)	初期せん断 弾性係数 G ₀ (×10 ⁵ kN/m ²)	剛性 低下率 G/G ₀	ヤング 係数 E (×10 ⁵ kN/m ²)	減衰 定数 h (%)	層厚 H (m)
0.0	砂岩	380	17.8	0.473	2.25	2.62	0.86	6.63	3	8.1
-8.1		450	16.5	0.464	2.66	3.41	0.78	7.79	3	11.9
-20.0	泥岩	500	17.1	0.455	3.40	4.36	0.78	9.89	3	70.0
-90.0		560	17.6	0.446	4.39	5.63	0.78	12.70	3	28.0
-118.0		600	17.8	0.442	5.09	6.53	0.78	14.68	3	88.0
-206.0 (震災前 0.P.-196.0)		(解放基盤)	700	18.5	0.421	9.24	9.24	1.00	26.26	-

3) 地震応答解析結果

最大応答加速度分布を図 3.3-4(1) 及び図 3.3-4(2) に示す。



注：燃料取扱設備が門型架構の中央に位置する場合

(図 3.2-1 の位置 D) を示す

*：位置は A 構面側からの距離を示す

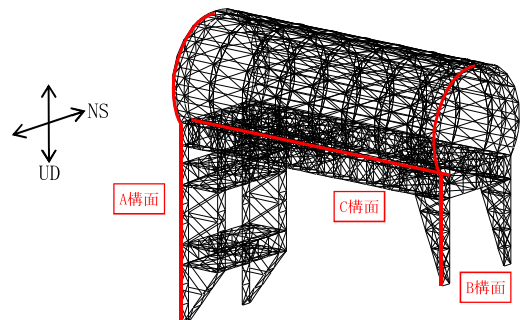
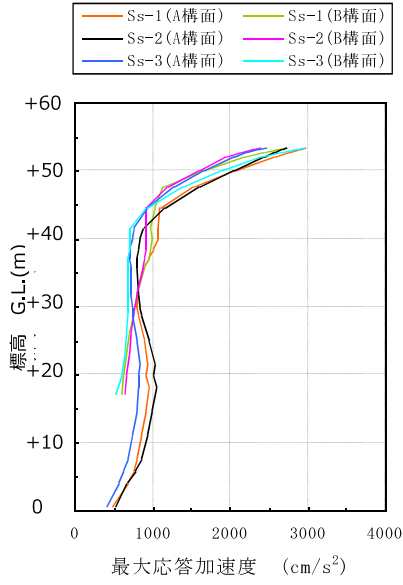
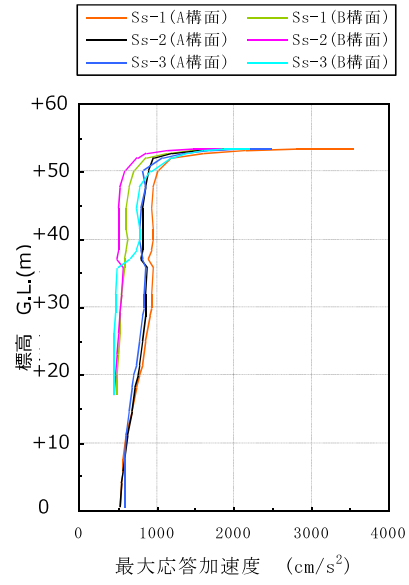


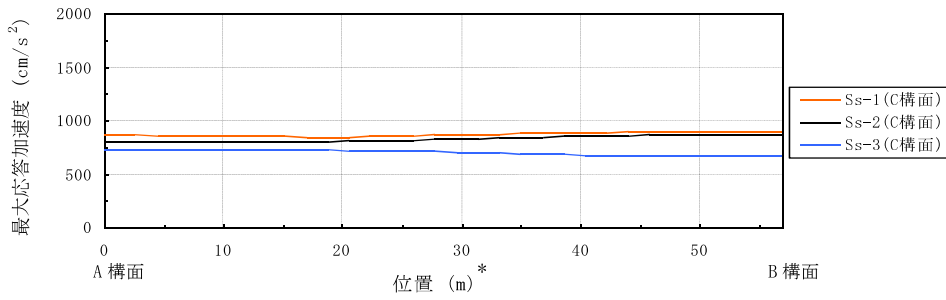
図 3.3-4(1) 最大応答加速度分布



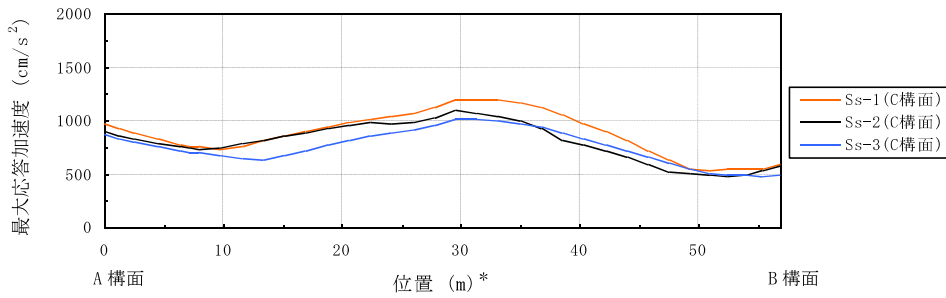
水平(EW)成分 (A 構面, B 構面)



鉛直成分 (A 構面, B 構面)



水平(EW)成分 (C 構面)



鉛直成分 (C 構面)
(EW 方向)

注：燃料取扱設備が門型架構の中央に位置する場合
(図 3.2-1 の位置 D) を示す

*：位置は A 構面側からの距離を示す

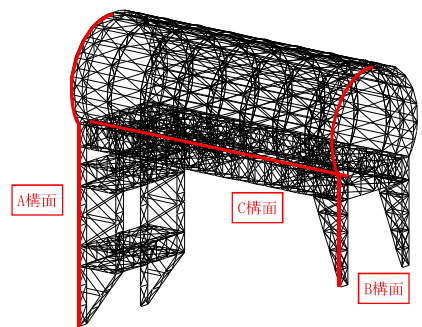
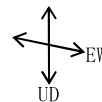


図 3.3-4(2) 最大応答加速度分布

4) 波及的影響の評価

門型架構は、JSCA 性能メニュー（社団法人日本建築構造技術者協会，2002 年）を参考に定めたクライテリア（「層間変形角は 1/75 以下，層の塑性率は 4 以下，部材の塑性率は 5 以下」*）を満足することを確認する。ドーム屋根は，柱・梁によるフレームを構成しないため，JSCA 性能メニューのうち部材の塑性率のクライテリアを満足することを確認する。

なお，解析結果が「時刻歴応答解析建築物性能評価業務方法書」（財団法人日本建築センター，平成 19 年 7 月 20 日）に示されるクライテリア（層間変形角は 1/100 以下，層の塑性率は 2 以下，部材の塑性率は 4 以下）を超える場合には水平変形に伴う鉛直荷重の付加的影響を考慮した解析を実施し，安全性を確認する。

*：北村春幸，宮内洋二，浦本弥樹「性能設計における耐震性能判断基準値に関する研究」，日本建築学会構造系論文集，第 604 号，2006 年 6 月

・層間変形角の検討

門型架構の最大応答層間変形角を表 3.3-4 に示す。

検討の結果，最大応答層間変形角は 1/75 以下となりクライテリアを満足することを確認した。

表 3.3-4 最大応答層間変形角の検討結果

検討箇所	地震波	入力方向(位置)*	最大応答値	クライテリア	判定
東側 G. L. +36.00(m) ～G. L. +16.90(m)	Ss-1	NS (A)	1/820	1/75	O. K.
		EW (B)	1/990	1/75	O. K.
	Ss-2	NS (B)	1/990	1/75	O. K.
		EW (B)	1/1000	1/75	O. K.
	Ss-3	NS (B)	1/990	1/75	O. K.
		EW (B)	1/1000	1/75	O. K.
西側 G. L. +36.00(m) ～G. L. +0.50(m)	Ss-1	NS (A)	1/720	1/75	O. K.
		EW (B)	1/1600	1/75	O. K.
	Ss-2	NS (C)	1/860	1/75	O. K.
		EW (B)	1/1600	1/75	O. K.
	Ss-3	NS (C)	1/800	1/75	O. K.
		EW (B)	1/1800	1/75	O. K.

*：図 3.2-1 に示す燃料取扱設備の位置を示す

・塑性率の検討

部材の塑性率は、引張及び圧縮に対して最大軸力時のひずみを引張耐力または座屈耐力時のひずみで除した値で表される。最大軸力時のひずみが引張耐力または座屈耐力時のひずみ未満の場合は弾性であり塑性率は1未満となる。最大応答軸力を引張耐力または座屈耐力で除した値を耐力比と定義し、表 3.3-5 に検討結果を示す。なお、引張耐力及び座屈耐力算定時の材料強度（STKT590 材を除く）は「平成 19 年国土交通省告示第 625 号」に定められた基準強度 F 値の 1.1 倍を用いる。

表 3.3-5 より全てのケースで耐力比が 1 を下回ることから塑性率は 1 未満となり、クライテリアを満足することを確認した。

表 3.3-5 耐力比の検討結果

部位*1		部材形状 (mm)	地震波	入力方向 (位置)*2	耐力比		判定	
門型架構	①	柱	H-350×350 ×12×19 <SM490A>	Ss-2	NS (C)	C/Cu	0.50	OK
	②	梁	H-350×350 ×12×19 <SM490A>	Ss-1	NS (C)	C/Cu	0.45	OK
	③	斜材	2[s-150×75 ×6.5×10 <SM490A>	Ss-1	NS (C)	C/Cu	0.75	OK
ドーム屋根	④	弦材	φ-267.4×6.6 <STKT590>	Ss-1	NS (D)	C/Cu	0.63	OK
	⑤	斜材	φ-139.8×4.5 <STK490>	Ss-1	EW (D)	C/Cu	0.90	OK
	⑥	ブレース	φ-114.3×4.5 <STK490>	Ss-2	EW (C)	C/Cu	0.45	OK

*1：①～⑥の符号は図 3.3-3 の応力検討箇所を示す

*2：図 3.2-1 に示す燃料取扱設備の位置を示す

C：部材軸方向の圧縮力の最大値

Cu：座屈耐力

T：部材軸方向の引張力の最大値

Tu：引張耐力

(3) 水平振れ止め装置（ストップ）の耐震性に対する検討

ストップ（鋼製）の耐震性に対する検討は、材料強度を基準強度 F 値の 1.1 倍としたせん断耐力とし、耐力比が 1 以下になることを確認する。図 3.3-5 にストップ概要図を示す。

表 3.3-6 に耐力比が最大となる部位の断面検討結果を示す。

断面検討の結果、全てのストップに対する耐力比が 1 以下になることを確認した。

表 3.3-6 ストップ（シアキ）の断面検討結果

部位	地震波	入力方向 (位置) *	最大応答 ストップ反力 Q (kN)	せん断耐力 Qu (kN)	耐力比 Q/Qu	判定
東側ストップ	Ss-1	EW (D)	3970	9480	0.42	O. K.

* : 図 3.2-1 に示す燃料取扱設備の位置を示す

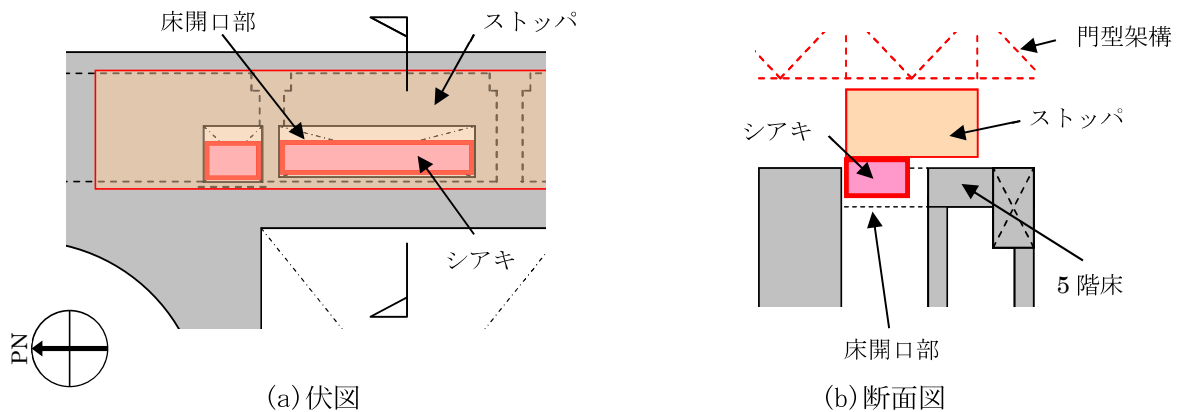


図 3.3-5 ストップ概要図

(4) 制震装置（オイルダンパ）の耐震性に対する検討

原子炉建屋の 5 階床上面 4 箇所に設置するオイルダンパ概念図を図 3.3-6 に示す。

オイルダンパの耐震性に対する検討は、架構と原子炉建屋 5 階床がオイルダンパを介して各々変形する時の相対的な応答値がオイルダンパの許容値以下であることを確認する。

表 3.3-7 に最大応答値と許容値を比較した結果を示す。

検討の結果、全てのオイルダンパで最大応答値が許容値以下になることを確認した。

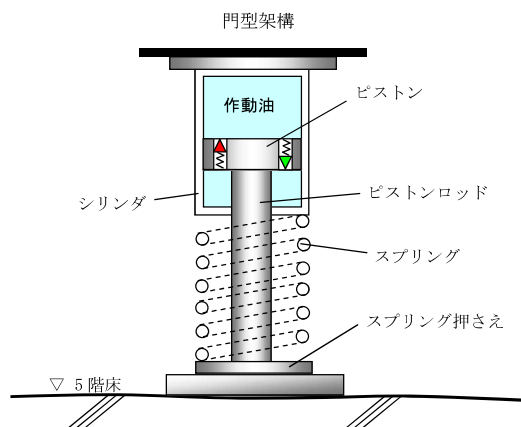


図 3.3-6 オイルダンパ概念図

表 3.3-7 オイルダンパの検討結果

検討	地震波	入力方向 (位置) *	最大応答値	許容値	判定
オイルダンパ変位 (mm)	Ss-3	NS (D)	72	±100	0. K.
オイルダンパ速度 (m/s)	Ss-1	NS (D)	0.48	1.00	0. K.

* : 図 3.2-1 に示す燃料取扱設備の位置を示す

(5) 基礎の耐震性に対する検討

基礎の浮き上がりに対しては基礎反力（圧縮力を正）の最小値が 0 以上であることを確認し、基礎のすべりに対しては基礎反力の水平力が摩擦耐力以下であることを確認する。

1) 基礎浮き上がりの検討

表 3.3-8 に基礎反力が最小となる部位の基礎浮き上がりの検討結果を示す。
検討の結果、全ての基礎の最小圧縮力が 0 以上になることを確認した。

表 3.3-8 基礎浮き上がりの検討結果

部位	地震波	入力方向 (位置) *	最小圧縮力 N (kN)	判定
東側柱脚 (北側)	Ss-3	NS (C)	227	0. K.

* : 図 3.2-1 に示す燃料取扱設備の位置を示す

2) 基礎すべりの検討

表 3.3-9 に耐力比が最大となる部位の検討結果を示す。
検討の結果、全ての耐力比が 1 以下になることを確認した。

表 3.3-9 基礎すべりの検討結果

部位	地震波	入力方向 (位置) *	最大水平力 Q (kN)	摩擦耐力 Vu (kN)	耐力比 Q/Vu	判定
東側柱脚	Ss-1	EW (D)	2810	4780	0.59	0. K.

* : 図 3.2-1 に示す燃料取扱設備の位置を示す

(6) 原子炉建屋接触部の耐震性に対する検討

1) ストッパ接触部

ストッパ接触部の耐震性の検討では、最大ストッパ水平反力が、既存躯体の支圧耐力以下になることを確認する。なお、支圧耐力は、原子炉建屋の設計基準強度 (22.1N/mm²) を用いて「プレストレストコンクリート設計施工規準・同解説」に基づき算出する。

表 3.3-10 に耐力比が最大となる部位の検討結果を示す。

検討の結果、全てのストッパ接触部に対する耐力比が 1 以下になることを確認した。

表 3.3-10 ストッパ接触部の検討結果

部位	地震波	入力方向 (位置) *	最大ストッパ 水平反力 N (kN)	支圧耐力 Nu (kN)	耐力比 N/Nu	判定
西側ストッパ	Ss-1	NS (C)	10400	19600	0.54	O. K.

* : 図 3.2-1 に示す燃料取扱設備の位置を示す

2) オイルダンパ接触部

オイルダンパ接触部の耐震性の検討では、最大オイルダンパ鉛直反力が、既存躯体の支圧耐力以下になることを確認する。なお、支圧耐力は、原子炉建屋の設計基準強度 (22.1N/mm²) を用いて「プレストレストコンクリート設計施工規準・同解説」に基づき算出する。

表 3.3-11 に耐力比が最大となる部位の検討結果を示す。

検討の結果、全てのオイルダンパ接触部に対する耐力比が 1 以下になることを確認した。

$$N_u = f_n \cdot A_l$$

$$f_n = f_{na} \sqrt{\frac{A_c}{A_l}} \quad \text{ただし,} \quad \sqrt{\frac{A_c}{A_l}} \leq 2.0 *$$

ここに、

f_n : 短期許容支圧応力度 (N/mm²)

f_{na} : $F_{ci}/1.25$ または $0.6F_c$ のうち小さいほうの値 (N/mm²)

F_{ci} : コンクリート強度、特に定めのない場合には 20N/mm² ($F_{ci}=22.1\text{N/mm}^2$)

A_c : 支圧端から離れて応力が一様分布となったところのコンクリートの支承面積 (mm²)

A_l : 局部圧縮を受ける支圧面積 (mm²)

($500 \times 500 = 2.50 \times 10^5 \text{mm}^2$)

表 3.3-11 オイルダンパ接触部の検討結果

部位	地震波	入力方向 (位置) *	最大オイルダンパ 鉛直反力 N (kN)	支圧耐力 Nu (kN)	耐力比 N/Nu	判定
南側端部	Ss-1	NS (D)	1250	6620	0.19	O. K.

* : 図 3.2-1 に示す燃料取扱設備の位置を示す

3) 基礎設置部

基礎設置部の耐震性の検討では、柱脚の鉛直反力により生じる直下壁の最大軸力が壁の軸耐力以下であることを確認する。

表 3.3-12 に耐力比が最大となる部位の検討結果を示す。

検討の結果、全ての基礎設置部に対する耐力比が 1 以下になることを確認した。

$$N_u = s f_c \cdot A_1$$

ここに、

$s f_c$: 短期許容圧縮応力度 (N/mm²) ($s f_c = 22.1 \times 2/3 = 14.7$)

A_1 : 柱脚部支配面積 (mm²)

表 3.3-12 壁の圧縮力の検討結果

部位	地震波	入力方向 (位置) *	最大軸力 N (kN)	軸耐力 Nu (kN)	耐力比 N/Nu	判定
東側柱脚 (南側)	Ss-3	NS (B)	7430	25900	0.29	O. K.

* : 図 3.2-1 に示す燃料取扱設備の位置を示す

(7) 原子炉建屋の耐震性に対する検討

1) 検討方針

架構の設置に伴う原子炉建屋の耐震性の評価は、耐震安全上重要な設備への波及的影響防止の観点から、地震応答解析により得られる耐震壁のせん断ひずみが鉄筋コンクリート造耐震壁の終局限界に対応した評価基準値 (4.0×10^{-3}) 以下になることを確認する。

2) 原子炉建屋の地震応答解析

・解析に用いる入力地震動

検討に用いる地震動は、「(2) 架構の耐震性に対する検討」で示した基準地震動 S_s とする。

地震応答解析に用いる入力地震動の概念図は図 3.3-1 と同様であり、モデルに入力する地震動は「(2) 架構の耐震性に対する検討」に示したものと同一である。

・地震応答解析モデル

原子炉建屋の地震応答解析モデルは、図 3.3-7 に示すように質点系でモデル化し、地盤を等価なばねで評価した建屋—地盤連成系モデルとする。

地震応答解析モデルの諸元は、「福島第一原子力発電所の原子炉建屋の現状の耐震安全性および補強等に関する検討に係る報告書（その 2）」（東京電力株式会社，平成 23 年 7 月 13 日）に示される内容に、瓦礫撤去等による重量増減及び新規に設置する燃料取り出し用カバーの重量を考慮した。地震応答解析モデルの諸元のうち表 3.3-2 から変更した質点重量及び回転慣性重量を表 3.3-13 に示す。

地盤定数は、「(2) 架構の耐震性に対する検討」で示した地盤定数と同一である。

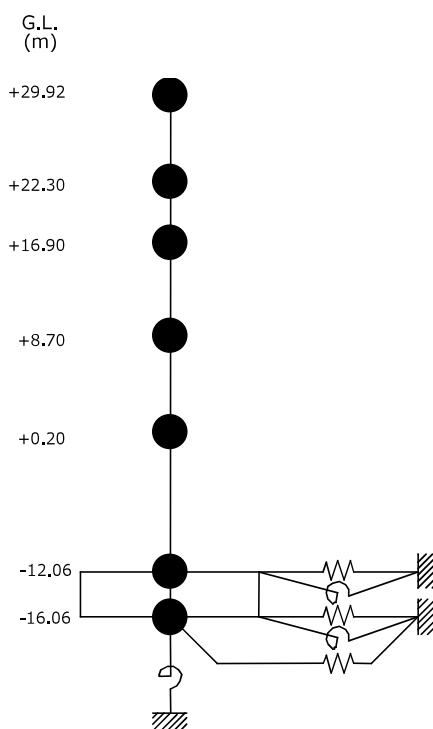


図 3.3-7 原子炉建屋の地震応答解析モデル

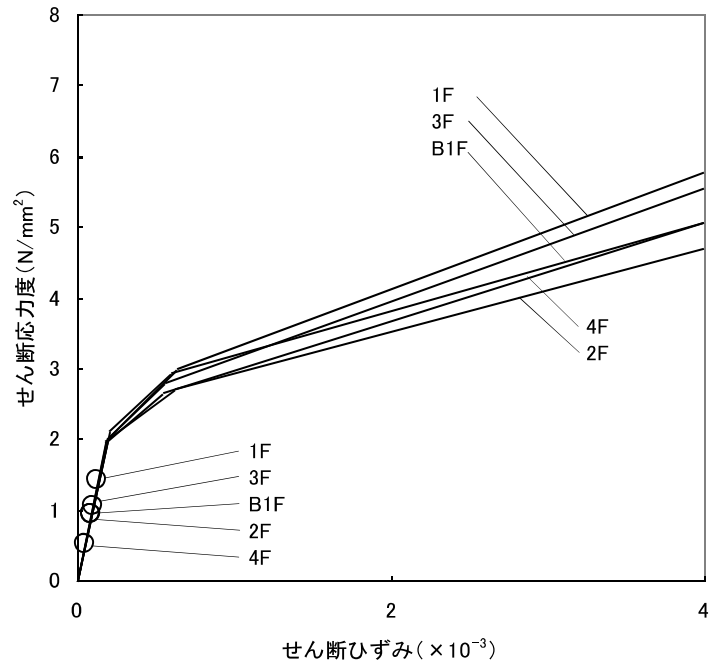
表 3.3-13 原子炉建屋の地震応答解析モデルの諸元（水平方向）

標高 G. L. (m)	質点重量 W (kN)	回転慣性重量 $I_G (\times 10^5 \text{ kN}\cdot\text{m}^2)$	
		水平(NS)方向	水平(EW)方向
+29.92	87590	92.34	67.32
+22.3	119490	238.33	124.49
+16.9	111340	204.95	204.95
+8.7	130160	239.58	239.58
+0.2	253710	467.09	696.62
-12.06	301020	554.17	826.50
-16.06	127000	233.79	348.72
合計	1130310		

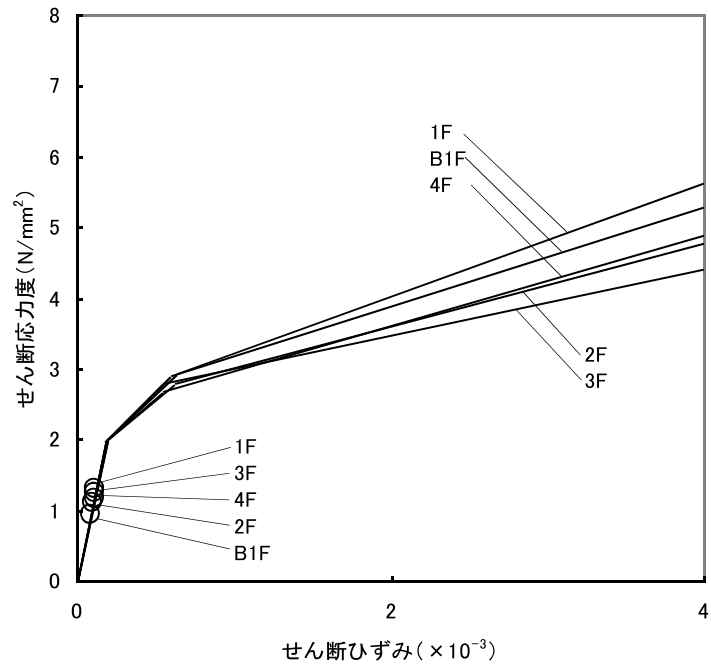
3) 検討結果

基準地震動 S_s に対する最大応答値を、「JEAG 4601-1991」に基づき設定した耐震壁のせん断スケルトン曲線上にプロットした結果を、図 3.3-8 から図 3.3-10 に示す。

検討の結果、地震応答解析により得られる最大応答値は、評価基準値 (4.0×10^{-3}) に対して十分に余裕があることを確認した。

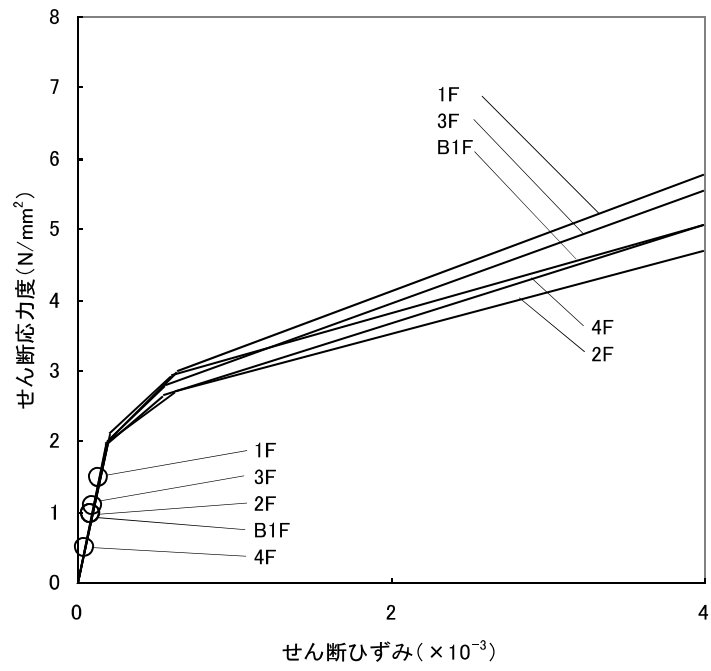


(a) NS 方向

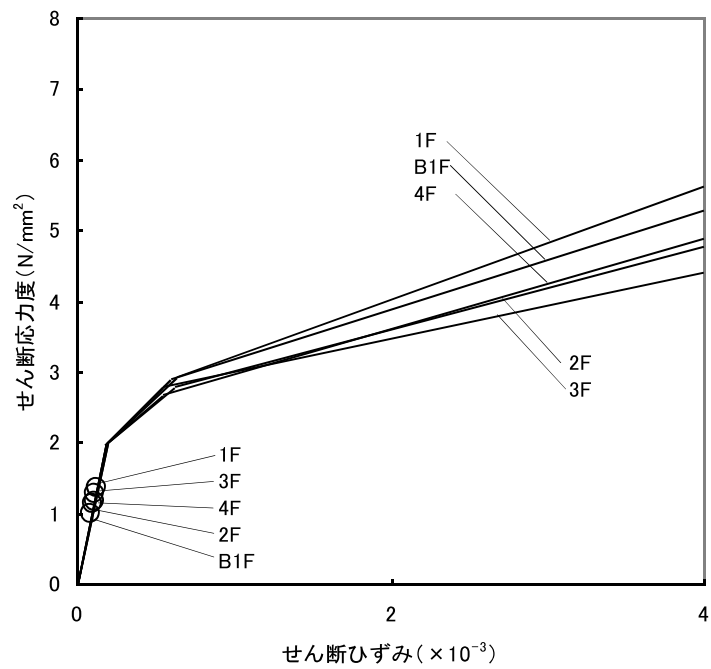


(b) EW 方向

図 3.3-8 せん断スケルトン曲線上の最大応答値 (Ss=1)

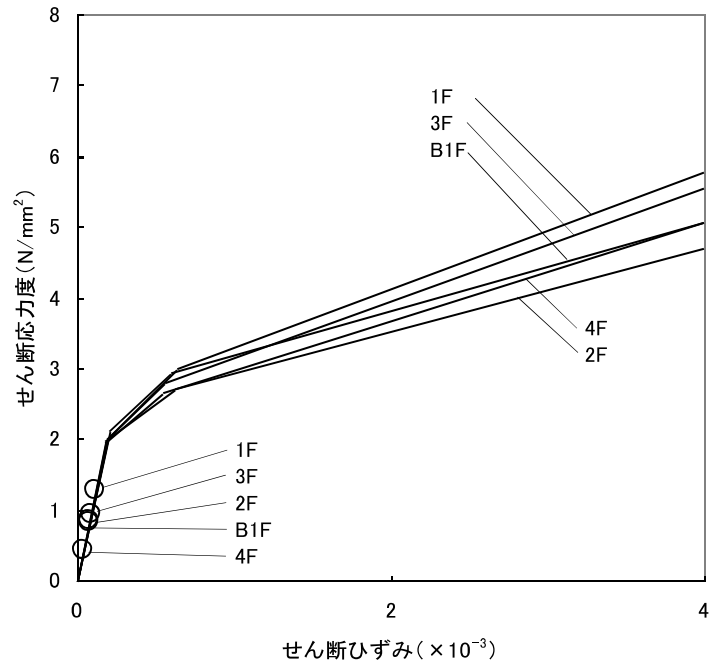


(a) NS 方向

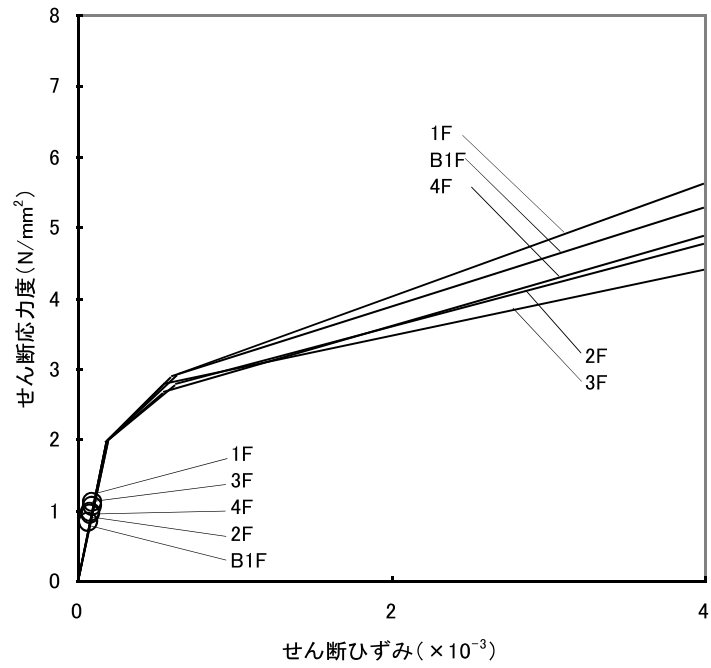


(b) EW 方向

図 3.3-9 せん断スケルトン曲線上の最大応答値 (Ss-2)



(a) NS 方向



(b) EW 方向

図 3.3-10 せん断スケルトン曲線上の最大応答値 (Ss-3)

4. 2号機燃料取り出し用構台の構造強度及び耐震性について

4.1 概要

4.1.1 一般事項

2号機燃料取り出し用構台は、原子炉建屋の南側に設置される基礎・構台・前室と、原子炉建屋に延伸して設置されるランウェイガーダ、弾性支承、オイルダンパから構成され、改良地盤上に設置する。また、ランウェイガーダ上を燃料取扱設備が走行する。ここでは、本燃料取り出し用構台の構造強度と耐震性について検討を行う。なお、2021年9月8日の原子力規制委員会で示された耐震設計の考え方を踏まえ、安全機能の重要度、地震によって機能の喪失を起こした場合の安全上の影響（公衆への被ばく影響）や廃炉活動への影響等を考慮した上で、核燃料物質を非密封で扱う燃料加工施設や使用施設等における耐震クラス分類を参考にして適切な耐震設計上の区分を行うとともに、適切と考えられる設計用地震力に十分耐えられる設計とし、具体的にはB+クラスに分類される燃料取出設備の間接支持構造物として、B+クラス相当の地震力に対する耐震評価を行う。なお、耐震クラス分類に係わる被ばく評価については、「別冊28 2号機 使用済燃料プールからの燃料取り出し設備に係る補足説明」（以下、別冊28と記載）P113～P130参照。

燃料取り出し用構台の構造強度は一次設計に対応した許容応力度設計を実施し、耐震性は検討用地震動（最大加速度900gal）の1/2の最大加速度450galの地震動（以下、1/2Ss450と記載）に対する地震応答解析を実施し、燃料取り出し用構台の損傷が原子炉建屋、使用済燃料プール及び使用済燃料ラックに波及的影響を及ぼさないことを確認する。ここで、波及的影響の確認は、燃料取り出し用構台が崩壊機構に至らないことを確認する。検討用地震動（最大加速度900gal）は「東京電力福島第一原子力発電所の外部事象に対する防護の検討について」（東京電力株式会社、平成26年10月3日、特定原子力施設監視・評価検討会（第27回））にて提示した地震動とする。

なお、2号機燃料取り出し用構台については、実施計画変更認可申請の審査期間中に、適用地震動見直しが行われたことから、一部の評価については、「福島第一原子力発電所『発電用原子炉施設に関する耐震設計審査指針』の改訂に伴う耐震安全性評価結果中間報告書」（東京電力株式会社、平成20年3月31日）にて作成した解放基盤表面で定義される新規制基準によらない従来のSs（最大加速度600gal）（以下、Ss600と記載）に対する地震応答解析結果との比較から耐震性を確認する。図4.1.1-1に燃料取り出し用構台のイメージを示す。

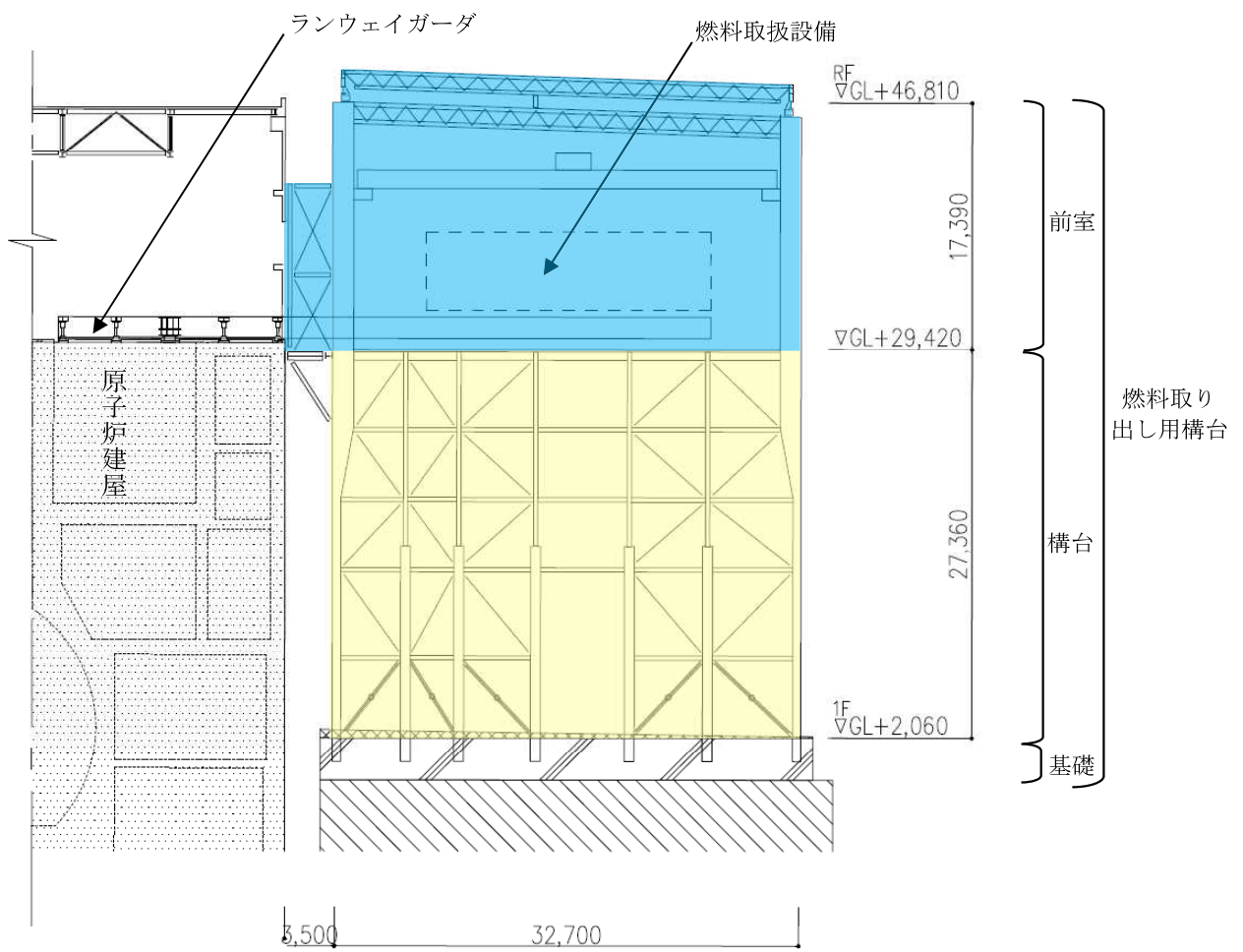


図 4.1.1-1 燃料取り出し用構台のイメージ (単位：mm)

燃料取り出し用構台の検討は原則として下記の法規及び基規準類に準拠して行う。

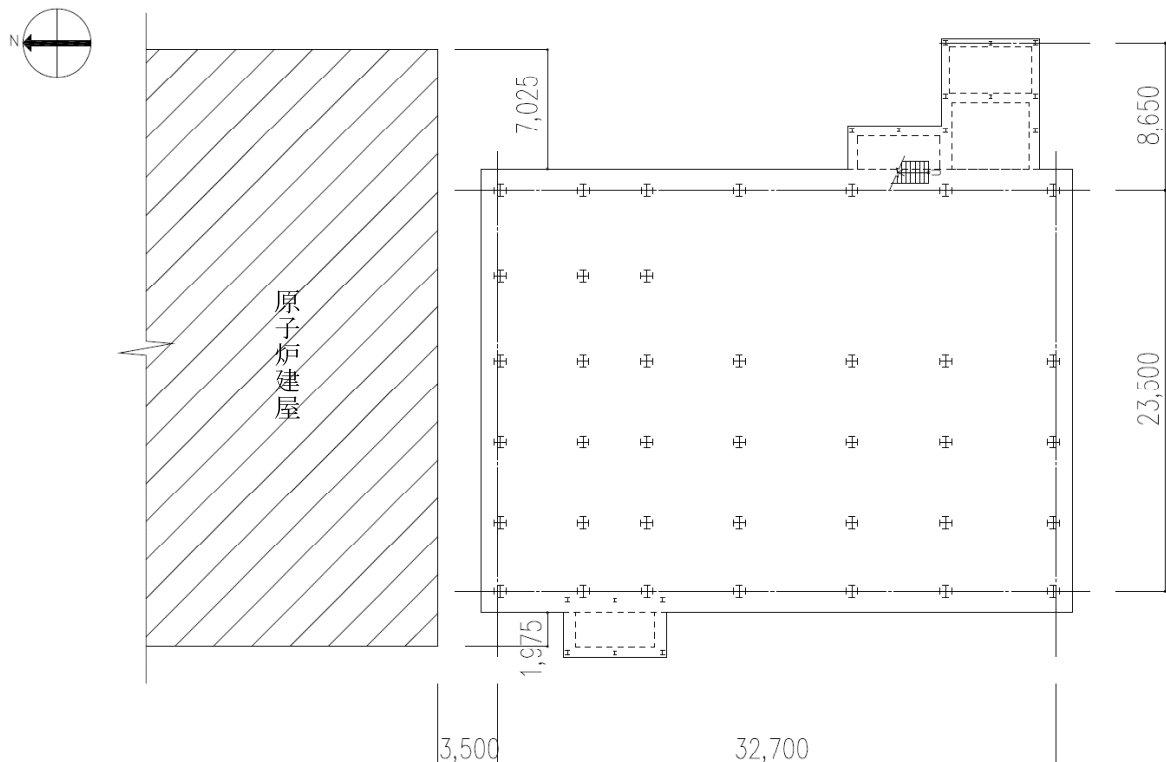
- (1) 建築基準法・同施行令及び関連告示
- (2) 原子力施設鉄筋コンクリート構造計算規準・同解説（日本建築学会，改訂版 2013 年 8 月発行）
- (3) 鉄筋コンクリート構造計算規準・同解説（日本建築学会，2018 年 12 月）
- (4) 鋼構造設計規準—許容応力度設計法—（日本建築学会，2005 年 9 月）
- (5) 2015 年版 建築物の構造関係技術基準解説書(国土交通省住宅局建築指導課・国土交通省
国土技術政策総合研究所・独立行政法人建築研究所・日本建築行政会議，2015 年)
- (6) 鋼構造塑性設計指針（日本建築学会，2010 改定）
- (7) 原子力発電所耐震設計技術指針(JEAG 4601-1987)（日本電気協会 電気技術基準調査委員会，
昭和 62 年 8 月 改訂）
- (8) 原子力発電所耐震設計技術指針(JEAG 4601-1991 追補版)（日本電気協会 電気技術基準調査
委員会，平成 3 年 6 月 発刊）
- (9) 原子力発電所耐震設計技術規程(JEAC 4601-2015)（日本電気協会 原子力規格委員会，平成
27 年 6 月 改定）
- (10) 乾式キャスク使用済燃料中間建屋の基礎構造の設計技術規程(JEAC 4616-2009)（日本電気協
会 原子力規格委員会，平成 22 年 4 月 発刊）

4.1.2 構造概要

燃料取り出し用構台は、東西方向 27.0m、南北方向 32.7m、高さ 44.75m の矩形架構で構造種別は鉄骨造である。燃料取り出し用構台の概要を以下に示す。なお、オイルダンパ、弾性支承の設置目的及び役割については、別冊 2 8 P6 参照。

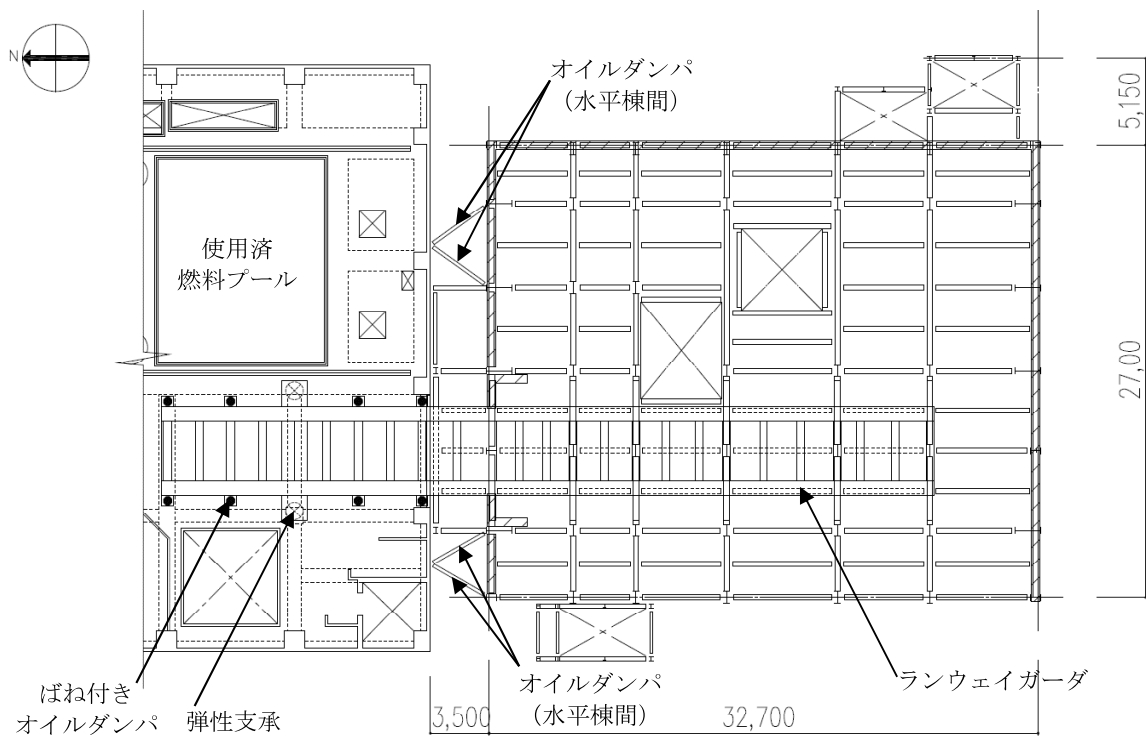
- (1) 原子炉建屋と燃料取り出し用構台の間にオイルダンパ（水平棟間）を設置する。
- (2) 構台は 5 層の柱・梁・ブレース及びオイルダンパ（鉛直）から成る架構とし、オイルダンパ（鉛直）はブレース状に配置する。
- (3) 前室は、柱・梁・ブレース及び屋根トラスから成る架構とする。
- (4) ランウェイガーダは、原子炉建屋南側外壁に開口を設け、構台と原子炉建屋に跨がる形で設置する。構台内では EW 方向の大梁に接続し、水平方向、鉛直方向ともに支持する。原子炉建屋内では水平方向の支持は行わないため、構台からの片持形式であり、鉛直方向は弾性支承で支持する。なお、弾性支承と原子炉建屋床面の固定は行わない。また、ランウェイガーダと原子炉建屋床面との間にばね付きオイルダンパを設置する。ばね付きオイルダンパの下面にはすべり材を取付け、原子炉建屋床面上に設置したすべり板との間で接触させ、水平方向に滑動可能な構造とする。

燃料取り出し用構台の概要図を図 4.1.2-1～図 4.1.2-3 に示す。

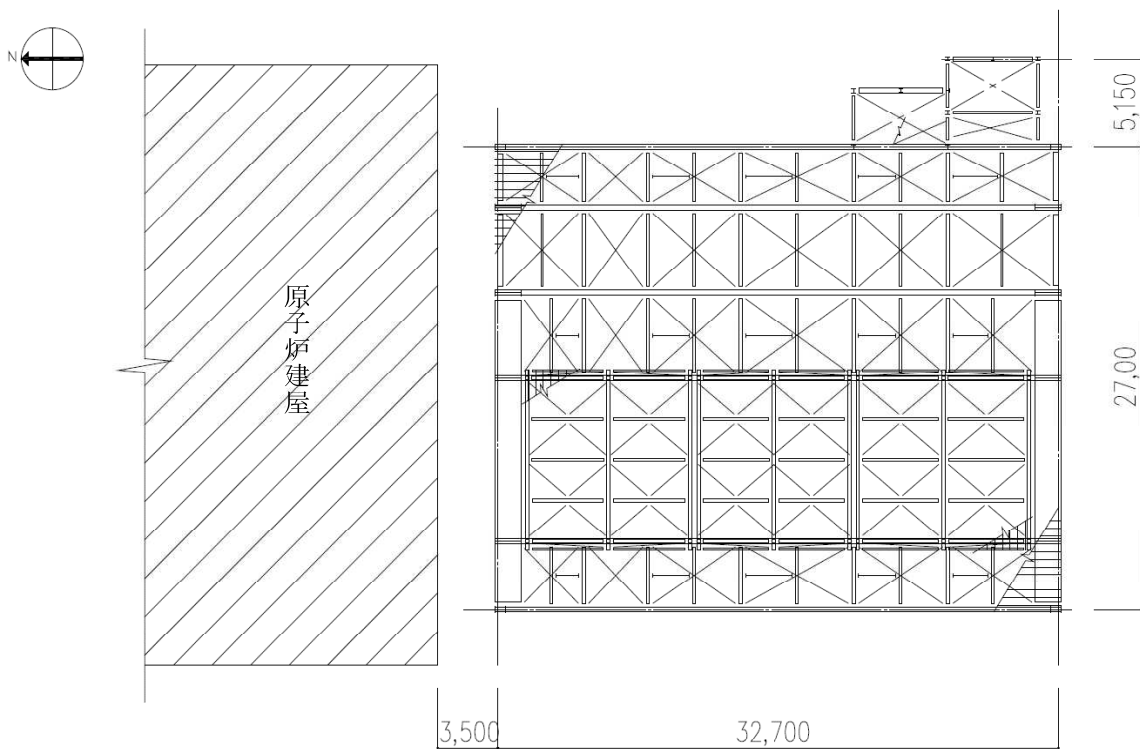


(a) 1F 伏図 (G. L. 2, 020)

図 4.1.2-1 燃料取り出し用構台の概要（単位：mm）

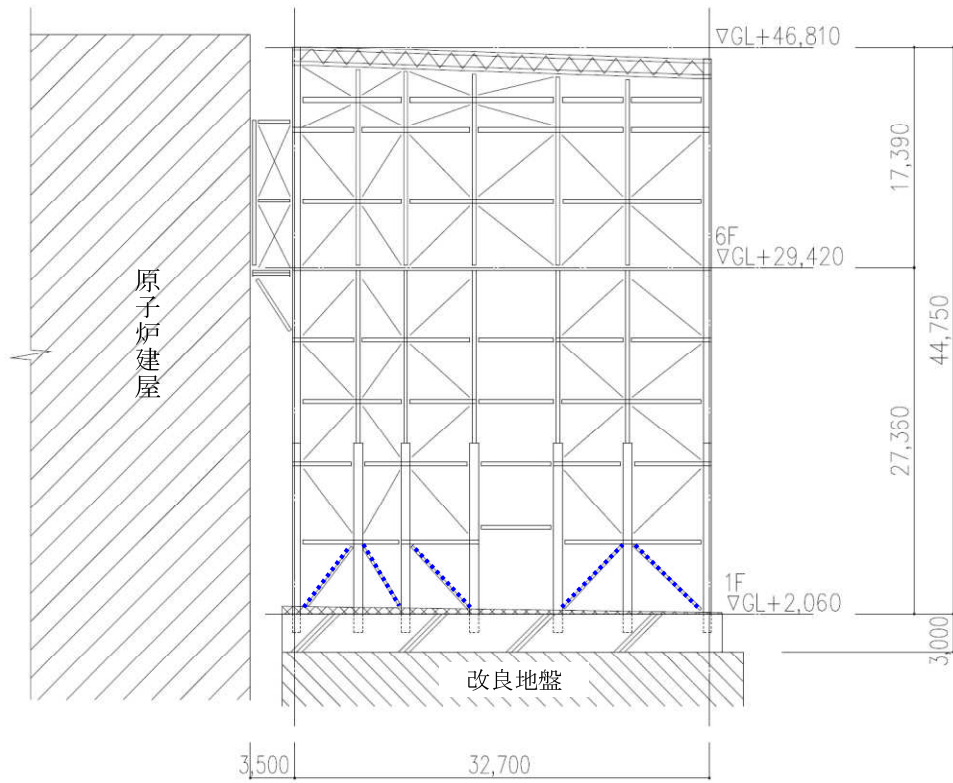


(a) 6F 伏図 (G. L. 29, 420)

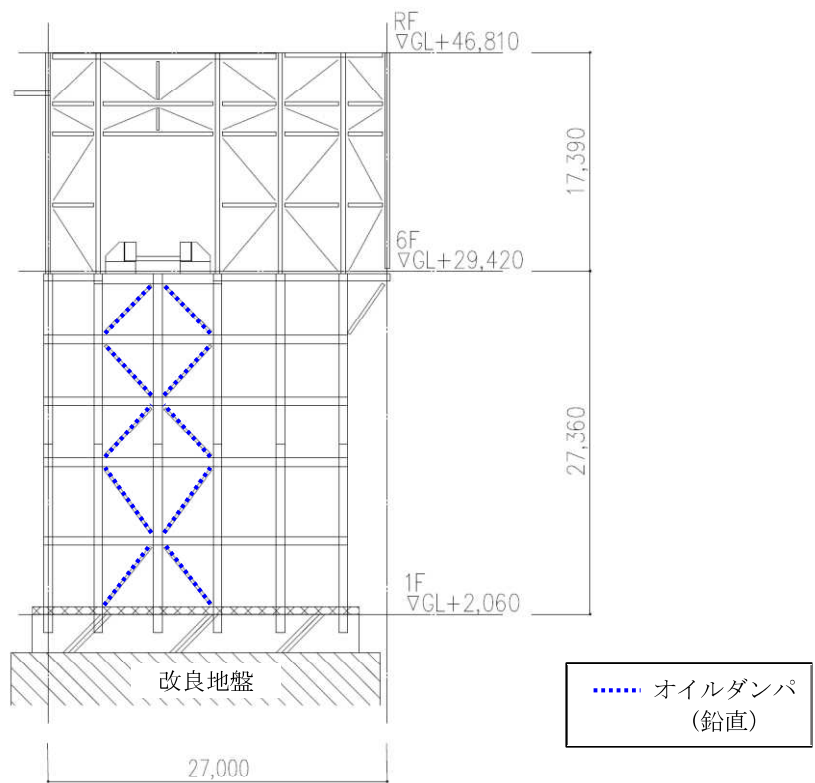


(b) 屋根伏図

図 4. 1. 2-2 燃料取り出し用構台の概要 (単位 : mm)



(a) 構台最西側軸組図



(b) 構台最北側軸組図

図 4. 1. 2-3 燃料取り出し用構台の概要 (単位 : mm)

4.1.3 検討フロー

燃料取り出し用構台の構造強度及び耐震性の検討フローを図 4.1.3-1 に示す。

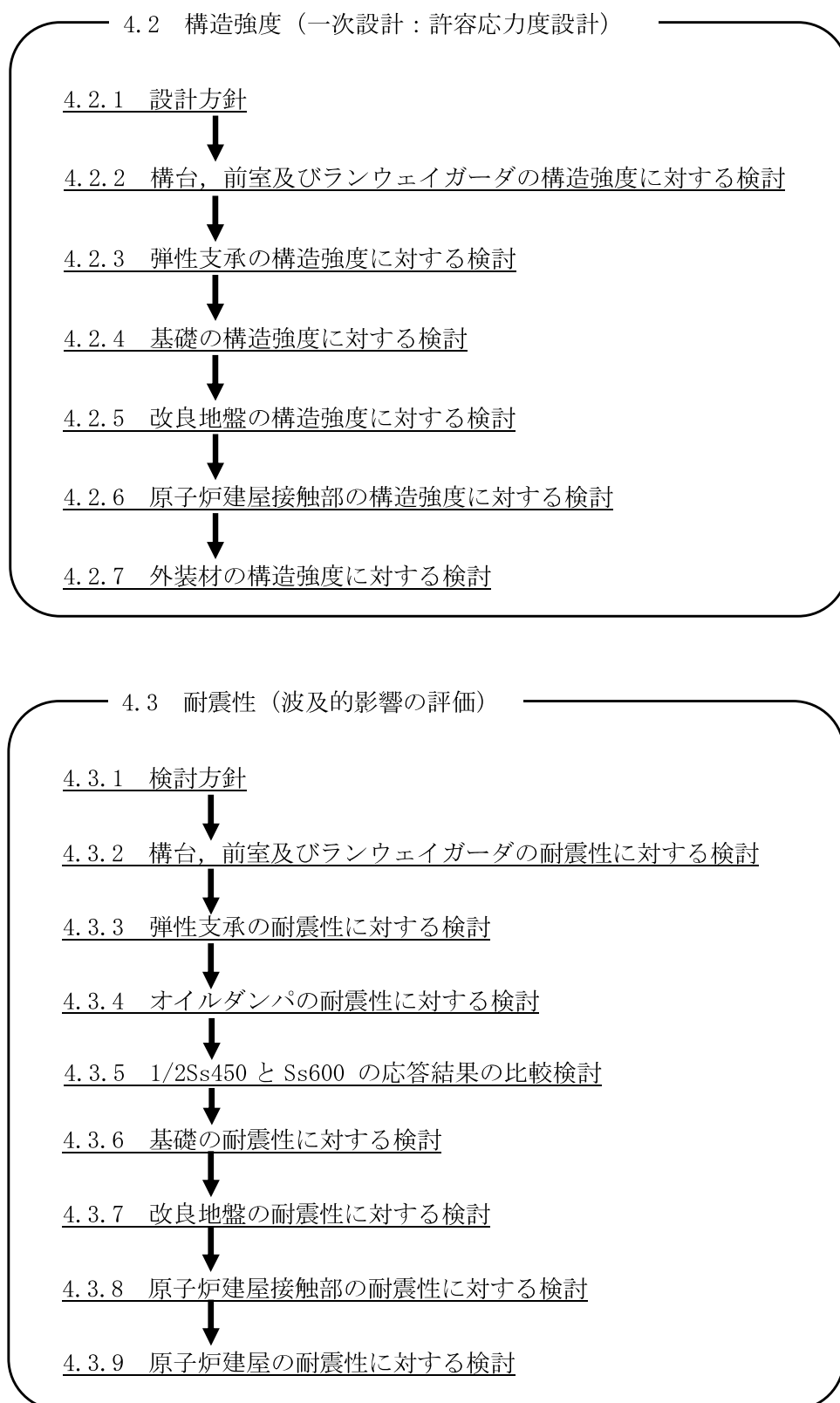


図 4.1.3-1 燃料取り出し用構台の検討フロー

4.2 構造強度

4.2.1 設計方針

構造強度の検討は、構台、前室及びランウェイガード、弾性支承、基礎及び改良地盤について許容応力度設計を実施する。

(1) 使用材料及び許容応力度

使用材料の物性値及び許容応力度を表 4.2.1-1～表 4.2.1-3 に示す。なお、弾性支承の詳細仕様については、別冊 2 8 P46, P47 参照。

表 4.2.1-1 燃料取り出し用構台の物性値及び許容応力度

材料定数

部位	材料	ヤング係数 E (N/mm ²)	ポアソン比 ν	単位体積重量 γ (kN/m ³)
架 構	鉄骨	2.05×10^5	0.3	77.0
床・基礎スラブ	コンクリート	2.27×10^4	0.2	23.0

コンクリートの許容応力度

(単位：N/mm²)

設計基準強度	長期			短期		
	圧縮	引張	せん断	圧縮	引張	せん断
24	8.0	—	0.73	16.0	—	1.095

鉄筋の許容応力度

(単位：N/mm²)

記号	鉄筋径	長期		短期	
		引張及び圧縮	せん断補強	引張及び圧縮	せん断補強
SD295	—	195	195	295	295
SD345	D29 未満	215	195	345	345
	D29 以上	195			

構造用鋼材の許容応力度

(単位：N/mm²)

板厚	材料	基準強度 F	許容応力度
T ≤ 40mm	SGLCC	205	JIS G 3321 に従い、左記 F の値 (降伏点又は耐力) より求める 「建設省告示第 2464 号」に従い、左記 F の値より求める *: 終局強度は基準強度 F 値の 1.1 倍とする。
	SS400	235 *	
	SM490A, STK490	325 *	
	SN490B, SN490C	325 *	
T > 40mm	SN490B	295 *	
	TMCP325	325	

表 4. 2. 1-2 弾性支承の物性値

弾性支承の物性値

種別	ゴム			鋼材	
	ゴム径 (mm)	鉛直剛性 ($\times 10^3$ kN/m)	水平剛性 ($\times 10^3$ kN/m)	フランジ プレート	内部鋼板
積層ゴム	750	2140	0*	SS400	SS400

* : ローラー支承と仮定

表 4. 2. 1-3 改良地盤・支持地盤の許容応力度

改良地盤の許容応力度

(単位 : kN/m²)

設計基準強度=3000* ¹	長期			短期		
	圧縮	引張	せん断	圧縮	引張	せん断
改良地盤	1000	—	200	2000	—	400
断面欠損を考慮* ²	980	—	150	1960	—	300

*1 : 設計圧縮強度 = 5000kN/m²

*2 : 「JEAC4616-2009」に準拠し、断面欠損を鉛直方向に 2%、せん断方向に 25%考慮した

支持地盤の許容支持力度

(単位 : kN/m²)

種別	長期* ³	短期* ³
泥岩 (岩盤)	1960	3920

*3 : 「福島第一原子力発電所第 4 号機工事計画認可申請書」による

(2) 荷重及び荷重組合せ

設計で考慮する荷重を以下に示す。

1) 鉛直荷重 (VL)

燃料取り出し用構台に作用する鉛直方向の荷重で、固定荷重、機器荷重、配管荷重及び積載荷重とする。

・燃料取扱設備荷重 (CL)

燃料取扱設備による荷重を表 4.2.1-4 に示す。なお、燃料取扱設備位置の選定根拠については、別冊 2 8 P52～P54 参照。

構内用輸送容器揚重時を想定し、構内用輸送容器を含んだ重量とする。

表 4.2.1-4 燃料取扱設備荷重

位 置	合計重量(t)
原子炉建屋内(A)	310
前室内(B)	310

2) 積雪荷重 (SL)

積雪荷重は建築基準法施行令第 86 条及び福島県建築基準法施行規則細則に準拠し以下の条件とする。

なお、国土交通省告示 594 号による多雪区域以外の区域における積雪後の降雨を見込んだ割増係数を乗じた積雪荷重を考慮する。

積雪量：30cm，単位荷重：20N/m²/cm

3) 風圧力 (WL)

風圧力は建築基準法施行令第 87 条および建設省告示第 1454 号に基づき、基準風速を 30m/s，地表面粗度区分Ⅱとして算定する。速度圧の算定結果を表 4.2.1-5 に示す。

表 4.2.1-5 速度圧の算定結果

建物高さ*	平均風速の鉛直分布係数	ガスト影響係数	建物高さと粗度区分による係数	基準風速	速度圧
H(m)	Er	Gf	E	Vo(m/s)	q(N/m ²)
46.81	1.26	2.00	3.16	30	1707

*：建物高さは、安全側に水上鉄骨天端とする

4) 地震荷重 (K)

燃料取り出し用構台に作用させる地震荷重は、G.L.+2.06m（構台基礎上端レベル）を基準面とした構台の水平地震力の算定結果より設定する。水平地震力は下式より算定し、算定結果を表 4.2.1-6 および表 4.2.1-7 に示す。

$$Q_i = n \cdot C_i \cdot W_i$$

$$C_i = Z \cdot R_t \cdot A_i \cdot C_0$$

ここで、

Q_i : 層せん断力 (kN)

n : 施設の重要度に応じた係数

建築基準法で定める地震力の 1.5 倍を考慮する。

C_i : 地震層せん断力係数

W_i : 当該部分が支える重量 (kN)

Z : 地震地域係数 ($Z=1.0$)

R_t : 振動特性係数 ($R_t=0.8$)

A_i : 地震層せん断力係数の高さ方向の分布係数で、燃料取り出し用構台の固有値を用いたモーダル解析法（二乗和平方根法）により求める。

C_0 : 標準せん断力係数 ($C_0=0.2$)

i 層の水平震度 k_i は、下式によって算定する。

$$P_i = Q_i - Q_{i-1}$$

$$k_i = P_i / w_i$$

ここで、

P_i : 当該階とその直下階の水平地震力の差 (kN)

w_i : 各階重量 (kN)

表 4.2.1-6 燃料取り出し用構台の水平震度の算定結果 (NS 方向)

階	標高 G. L. (m)	各階重量 wi (kN)	Wi (kN)	Ai	n · Ci	Qi (kN)	Pi (kN)	水平震度 ki
R	46.81	3523.2	—	—	—	—	1068	0.304
8	46.81~40.42	2275.1	3523.2	1.263	0.303	1068	655	0.288
7	40.42~34.82	1316.1	5798.3	1.238	0.297	1722	354	0.269
6	34.82~29.42	22168.4	7114.4	1.216	0.293	2076	5631	0.254
5	29.42~24.30	2805.8	29282.8	1.097	0.263	7707	638	0.228
4	24.30~19.38	2426.8	32088.5	1.084	0.260	8345	487	0.201
3	19.38~14.46	2957.4	34515.3	1.066	0.257	8832	524	0.178
2	14.46~8.26	3530.4	37472.7	1.040	0.249	9356	484	0.138
1	8.26~2.06	—	41003.1	1.000	0.240	9841	—	—

表 4.2.1-7 燃料取り出し用構台の水平震度の算定結果 (EW 方向)

階	標高 G. L. (m)	各階重量 wi (kN)	Wi (kN)	Ai	n · Ci	Qi (kN)	Pi (kN)	水平震度 ki
R	46.81	3523.2	—	—	—	—	1147	0.326
8	46.81~40.42	2275.1	3523.2	1.357	0.326	1147	719	0.317
7	40.42~34.82	1316.1	5798.3	1.341	0.323	1866	376	0.286
6	34.82~29.42	22168.4	7114.4	1.313	0.315	2242	6033	0.273
5	29.42~24.30	2805.8	29282.8	1.178	0.282	8276	609	0.217
4	24.30~19.38	2426.8	32088.5	1.154	0.278	8884	394	0.163
3	19.38~14.46	2957.4	34515.3	1.120	0.269	9278	339	0.115
2	14.46~8.26	3530.4	37472.7	1.069	0.257	9617	224	0.064
1	8.26~2.06	—	41003.1	1.000	0.240	9841	—	—

5) 荷重組合せ

設計で考慮する燃料取扱設備の位置を図 4.2.1-1 に、荷重組合せを表 4.2.1-8 に示す。

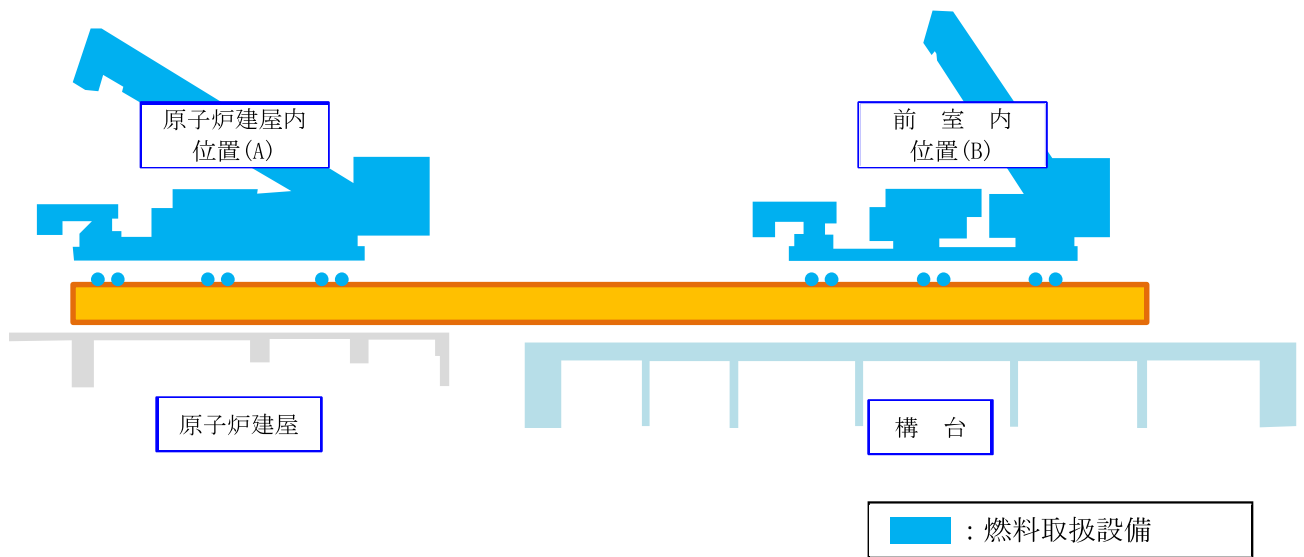


図 4.2.1-1 燃料取扱設備の位置

表 4.2.1-8 荷重組合せ

想定する状態	荷重ケース	荷重組合せ内容	許容応力度
常時	C	VL	長期
積雪時	S	VL+SL	短期
暴風時	W	VL+WL	
地震時	E1	VL+K(+NS)	
	E2	VL+K(-NS)	
	E3	VL+K(+EW)	
	E4	VL+K(-EW)	

注：各荷重ケースにおいて、燃料取扱設備の位置は原子炉建屋内位置(A)と前室内位置(B)の2ケース考慮する。

地震時と暴風時の燃料取り出し用構台の層せん断力について、風荷重の受圧面積が大きい EW 方向で比較した結果を図 4.2.1-2 に示す。図 4.2.1-2 より、地震時の層せん断力は暴風時の層せん断力を包絡しており、支配的な荷重である。

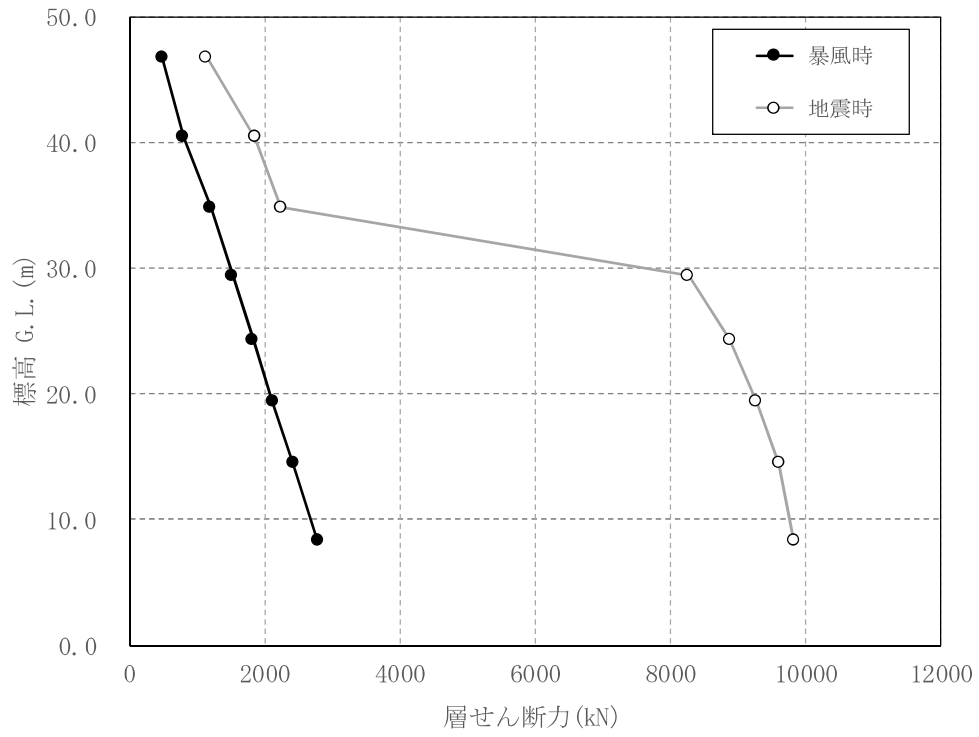


図 4. 2. 1-2 地震時と暴風時の層せん断力の比較 (EW 方向)

4.2.2 構台、前室及びランウェイガーダの構造強度に対する検討

(1) 解析モデル

架構の解析モデルは、構台及び前室とランウェイガーダを構成する主要な鉄骨部材からなる立体架構モデルとする。図4.2.2-1に架構の立体解析モデルを示す。解析モデルの柱脚部は固定とする。

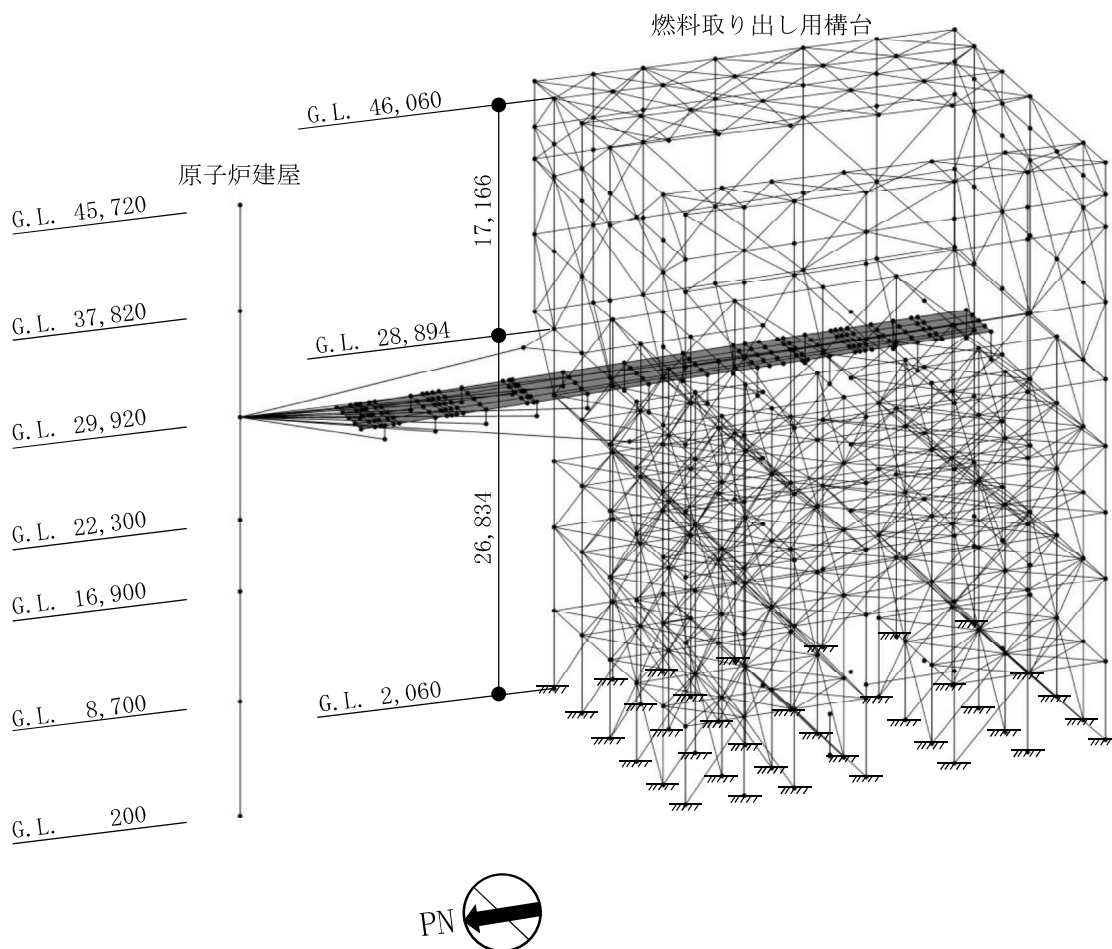


図4.2.2-1 解析モデル

(2) 断面検討

1) 柱及び梁部材の検討

部材の応力度比は、「鋼構造設計規準」に従い、2方向の曲げ、軸力及びせん断力の各最大応力と各許容応力度との比を組み合わせた値で表される。

$$\cdot \text{軸圧縮の場合} \quad \sqrt{\left(\frac{\sigma_c}{f_c} + \frac{\sigma_{by}}{f_{by}} + \frac{\sigma_{bz}}{f_{bz}}\right)^2 + \left(\frac{\tau}{f_s}\right)^2} \leq 1$$

$$\cdot \text{軸引張の場合} \quad \sqrt{\left(\frac{\sigma_t}{f_t} + \frac{\sigma_{by}}{f_{by}} + \frac{\sigma_{bz}}{f_{bz}}\right)^2 + \left(\frac{\tau}{f_s}\right)^2} \leq 1$$

ここで、 σ_c, σ_t : 圧縮応力度 (N/A) 及び引張応力度 (T/A) (N/mm²)
N : 圧縮力(N), T : 引張力(N), A : 断面積(mm²)
 σ_{by}, σ_{bz} : 強軸まわりの曲げ応力度 (M_y/Z_y)
及び弱軸まわりの曲げ応力度 (M_z/Z_z) (N/mm²)
 M_y, Z_y : 強軸まわりの曲げモーメント(Nm) 及び断面係数(mm³)
 M_z, Z_z : 弱軸まわりの曲げモーメント(Nm) 及び断面係数(mm³)
 τ : せん断応力度 (Q/A_s) (N/mm²)
Q : せん断力(N), A_s : せん断断面積(mm²)
 f_c : 許容圧縮応力度(N/mm²)
 f_t : 許容引張応力度(N/mm²)
 f_{by} : 強軸まわりの許容曲げ応力度(N/mm²)
 f_{bz} : 弱軸まわりの許容曲げ応力度(N/mm²)
 f_s : 許容せん断応力度(N/mm²)

2) トラス梁の斜材, ブレースの検討

応力度比の検討は、軸力に対し下式にて検討を行う。

$$\cdot \text{軸圧縮の場合} \quad \frac{\sigma_c}{f_c} \leq 1$$

$$\cdot \text{軸引張の場合} \quad \frac{\sigma_t}{f_t} \leq 1$$

ここで、 σ_c, σ_t : 圧縮応力度 (N/A) 及び引張応力度 (T/A) (N/mm²)
N : 圧縮力(N), T : 引張力(N), A : 断面積(mm²)
 f_c : 許容圧縮応力度(N/mm²)
 f_t : 許容引張応力度(N/mm²)

表 4. 2. 2-1 に常時に応力度比が最大となる部位の断面検討結果を、図 4. 2. 2-2 に応力度比が最大となる部材を示した図を示す。同様に、表 4. 2. 2-2 に地震時に応力度比が最大となる部位の断面検討結果を、図 4. 2. 2-3 に応力度比が最大となる部位を示した図を示す。

断面検討の結果、全ての部材に対する応力度比が 1 以下になることを確認した。

表 4. 2. 2-1 断面検討結果（常時）

部 位		部材形状 (mm) <使用材料>	荷重ケース (位置)	作用応力度 (N/mm ²)		許容応力度 (N/mm ²)		応力度比	判定
前 室	㊸柱	H-1500×400 ×16×32 <SM490A>	C (A, B)	σ_c	7.4	f_c	203	0.32	O. K.
				σ_{by}	49.7	f_{by}	211		
				σ_{bz}	9.4	f_{bz}	216		
				τ	4.6	f_s	125		
	㊸梁	H-1500×500 ×19×40 <SM490A>	C (A, B)	σ_t	0.2	f_t	216	0.11	O. K.
				σ_{by}	5.1	f_{by}	193		
				σ_{bz}	16.0	f_{bz}	216		
				τ	1.2	f_s	125		
	㊸鉛直 ブレース	ϕ -355.6×9.5 <STK490>	C (A, B)	σ_c	30.2	f_c	157	0.20	O. K.
	㊸屋根トラ ス上下弦材	H-300×300×16 ×16 <SM490A>	C (A, B)	σ_c	76.4	f_c	174	0.45	O. K.
				σ_{bz}	2.1	f_{bz}	216		
				τ	0.2	f_s	125		
㊸屋根トラ ス斜材	2[s-150×75× 6.5×10 <SS400>	C (A, B)	σ_c	59.9	f_c	136	0.45	O. K.	
㊸ランウエ イガード	□-1500×900× (80+40)×80 <SN490B>	C (B)	σ_c	0.0	f_c	196	0.25	O. K.	
			σ_b	45.7	f_b	196			
			τ	9.2	f_s	113			
構 台	㊸柱	H-700×300 ×16×32 <SM490A>	C (B)	σ_c	48.7	f_c	144	0.48	O. K.
				σ_{by}	20.5	f_{by}	161		
				σ_{bz}	2.1	f_{bz}	216		
				τ	3.8	f_s	125		
	㊸梁	H-800×350 ×19×36 <SM490A>	C (B)	σ_c	0.0	f_c	200	0.44	O. K.
				σ_{by}	59.0	f_{by}	207		
				σ_{bz}	0.0	f_{bz}	216		
τ				41.4	f_s	125			
㊸鉛直 ブレース	ϕ -355.6×9.5 <STK490>	C (B)	σ_c	21.4	f_c	142	0.16	O. K.	

*1 : ㊸~㊸の符号は図 4. 2. 2-2 の応力検討箇所を示す

*2 : ()内は、燃料取扱設備の位置を示す。(表 4. 2. 1-4 参照)

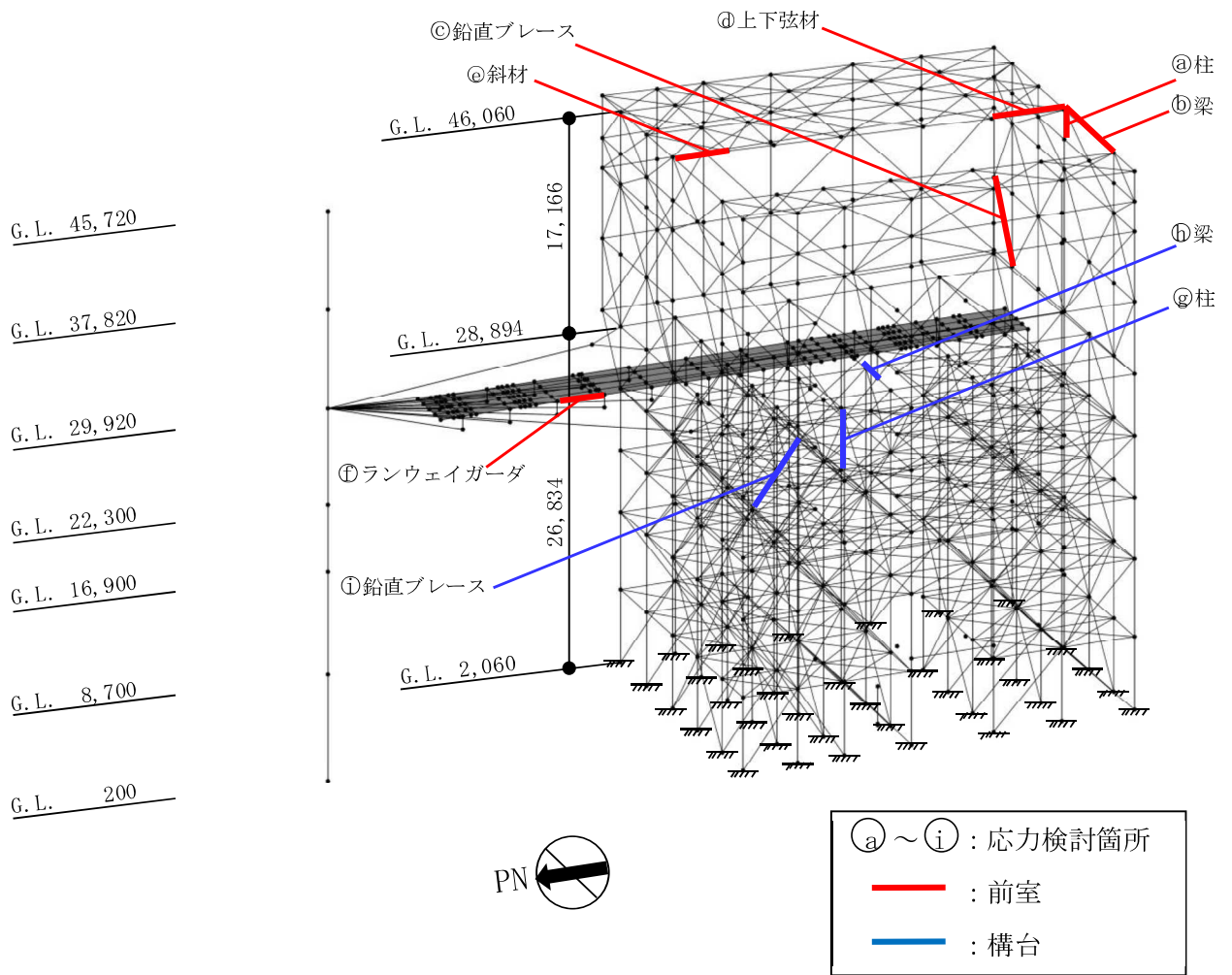


図 4. 2. 2-2 応力度比が最大となる部材 (常時)

表 4.2.2-2 断面検討結果 (地震時)

部 位		部材形状 (mm) <使用材料>	荷重ケース (位置)	作用応力度 (N/mm ²)		許容応力度 (N/mm ²)		応力度比	判定
前 室	㊸柱	H-1500×400 ×16×32 <SM490A>	E3 (B)	σ_c	7.8	f_c	304	0.25	O. K.
				σ_{by}	48.5	f_{by}	316		
				σ_{bz}	21.1	f_{bz}	324		
				τ	4.4	f_s	187		
	㊸梁	H-390×300 ×10×16 <SM490A>	E3 (B)	σ_t	9.2	f_t	192	0.17	O. K.
				σ_{by}	0.0	f_{by}	220		
				σ_{bz}	37.5	f_{bz}	324		
				τ	0.6	f_s	187		
	㊸鉛直 ブレース	ϕ -406.4×12.7 <STK490>	E3 (A)	σ_c	76.2	f_c	253	0.31	O. K.
	㊸水平ブ レース	2[s-150×75×9 ×12.5 <SS400>	E3 (A)	σ_t	35.8	f_t	234	0.16	O. K.
㊸屋根トラ ス上下弦材	H-300×300×16 ×16 <SM490A>	E4 (A)	σ_c	80.3	f_c	261	0.35	O. K.	
			σ_{bz}	10.5	f_{bz}	324			
			τ	0.3	f_s	187			
㊸屋根トラ ス斜材	2[s-150×75× 6.5×10 <SS400>	E2 (A, B)	σ_c	61.0	f_c	204	0.30	O. K.	
㊸ランウェ イガーダ	□-1500×900× (80+40)×80 <SN490B>	E3 (B)	σ_c	14.3	f_c	294	0.22	O. K.	
			σ_b	45.7	f_b	294			
			τ	9.2	f_s	169			
構 台	㊸柱	(X)H-700×300 ×40×40 (Y)H-700×350 ×40×40 <SM490A>	E1 (A)	σ_c	42.5	f_c	285	0.67	O. K.
				σ_{by}	11.2	f_{by}	312		
				σ_{bz}	154.4	f_{bz}	324		
				τ	7.3	f_s	187		
	㊸梁	H-700×350 ×19×36 <SM490A>	E3 (A)	σ_c	1.0	f_c	241	0.57	O. K.
				σ_{by}	134.0	f_{by}	261		
				σ_{bz}	2.1	f_{bz}	324		
				τ	38.1	f_s	187		
	㊸鉛直 ブレース	ϕ -406.4×9.5 <STK490>	E2 (A)	σ_t	83.8	f_t	231	0.37	O. K.
	㊸水平 ブレース	[-180×75×7× 10.5 <SS400>	E1 (A)	σ_t	44.5	f_t	234	0.20	O. K.

*1: ㊸~㊸の符号は図 4.2.2-3 の応力検討箇所を示す

*2: ()内は、燃料取扱設備の位置を示す。(表 4.2.1-4 参照)

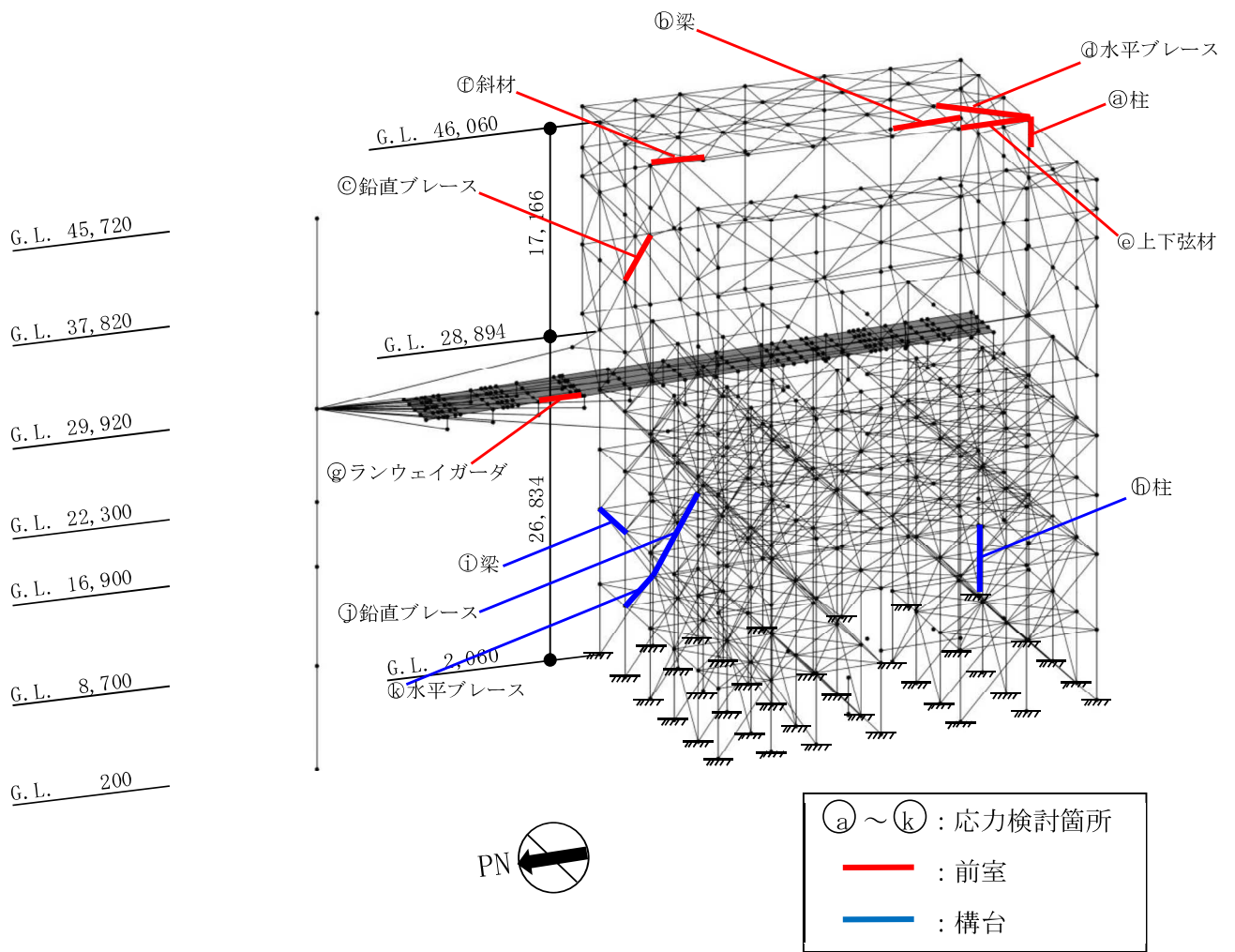


図 4. 2. 2-3 応力度比が最大となる部材 (地震時)

4.2.3 弾性支承の構造強度に対する検討

弾性支承に作用する圧縮力による面圧が、弾性支承の圧縮限界強度以下となることを確認する。圧縮限界強度はゴム材料の弾性係数に応じて製品が規定する数値である。

検討の結果、最大圧縮面圧が圧縮限界強度以下となることを確認した。

表 4.2.3-1 弾性支承の構造強度に対する検討結果

設置位置	最大面圧発生ケース (位置)*	圧縮限界強度 σ_v (N/mm ²)	最大圧縮面圧 σ_D (N/mm ²)	σ_D / σ_v	判定
西側	E2(A)	43.00	6.37	0.15	O.K.
東側	E2(A)	43.00	6.36	0.15	O.K.

* : ()内は、燃料取扱設備の位置を示す。(表 4.2.1-4 参照)

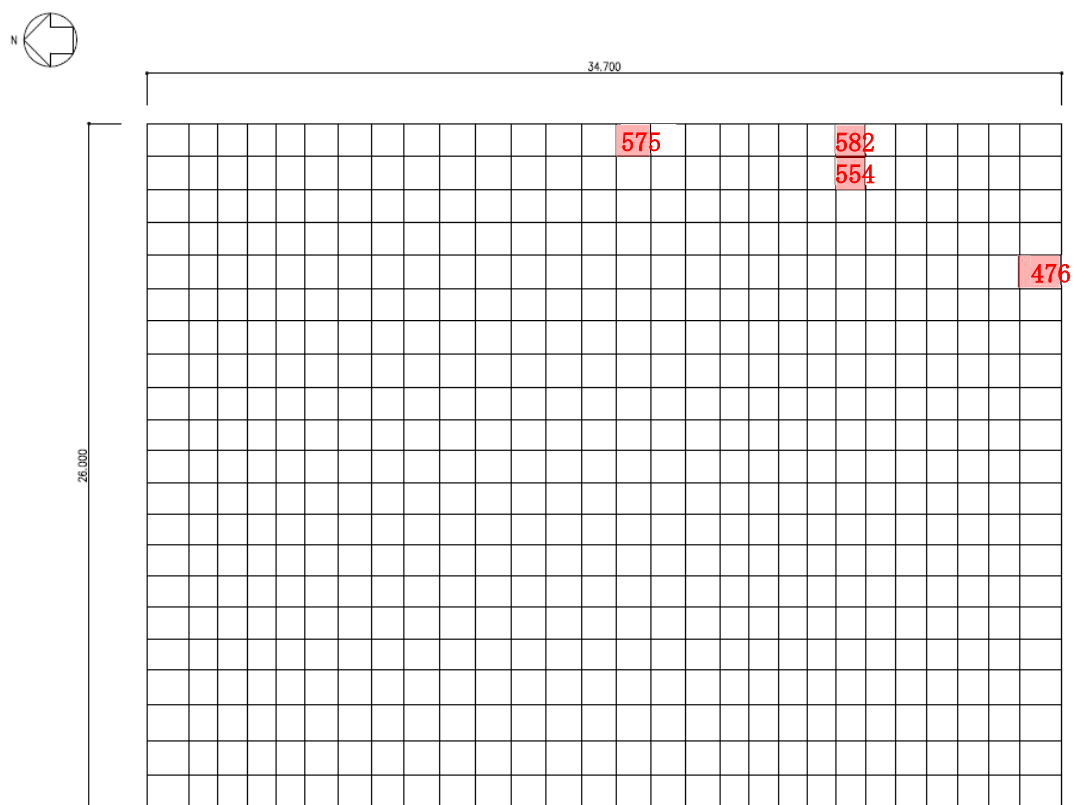
4.2.4 基礎の構造強度に対する検討

(1) 設計方針

基礎の応力解析は、弾性地盤上に支持された版として有限要素法を用いて行い、解析モデルは図 4.2.4-1 に示すように四辺形の均質等方な板要素により構成し、支持地盤は等価な弾性ばねとしてモデル化する。但し、浮き上がった場合は、ばねの剛性が 0 となる。

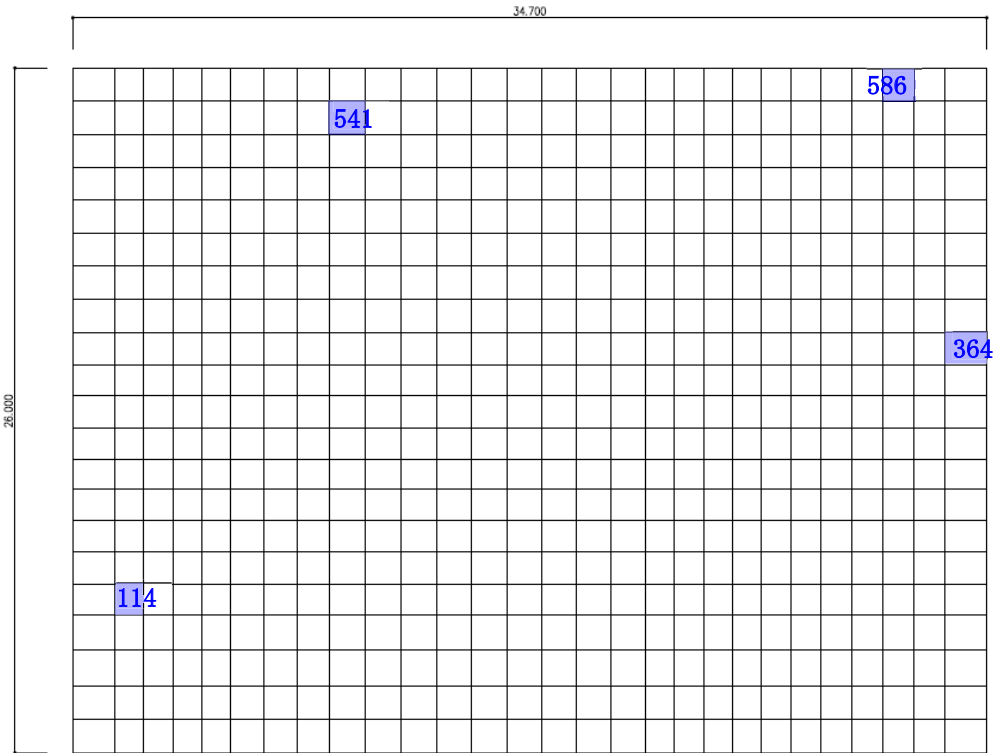
(2) 解析モデル

解析モデルを図 4.2.4-1、図 4.2.4-2 に示す。



凡例 #### : 断面算定要素(常時:C) (数字は要素番号)

図 4.2.4-1 解析モデル図(常時:C) (単位: mm)



凡例  : 断面算定要素(地震時:E1~E4) (数字は要素番号)

図 4. 2. 4-2 解析モデル図 (単位 : mm)

(3) 断面検討

組合せた応力より、各要素の必要鉄筋比を「原子力施設鉄筋コンクリート構造計算規準・同解説」より求め、設計配筋が必要鉄筋比を上回ること及び面外せん断力が許容せん断力以下であることを確認する。必要鉄筋比が最大となる要素と設計面外せん断力と許容せん断力との比が最大になる要素の断面検討結果を表 4.2.4-1、表 4.2.4-2 に示し、配筋図を図 4.2.4-3 に示す。

断面検討の結果、設計配筋は必要鉄筋比を上回り、面外せん断力は許容せん断力以下であることを確認した。

表 4. 2. 4-1 断面検討結果 (常時:C)

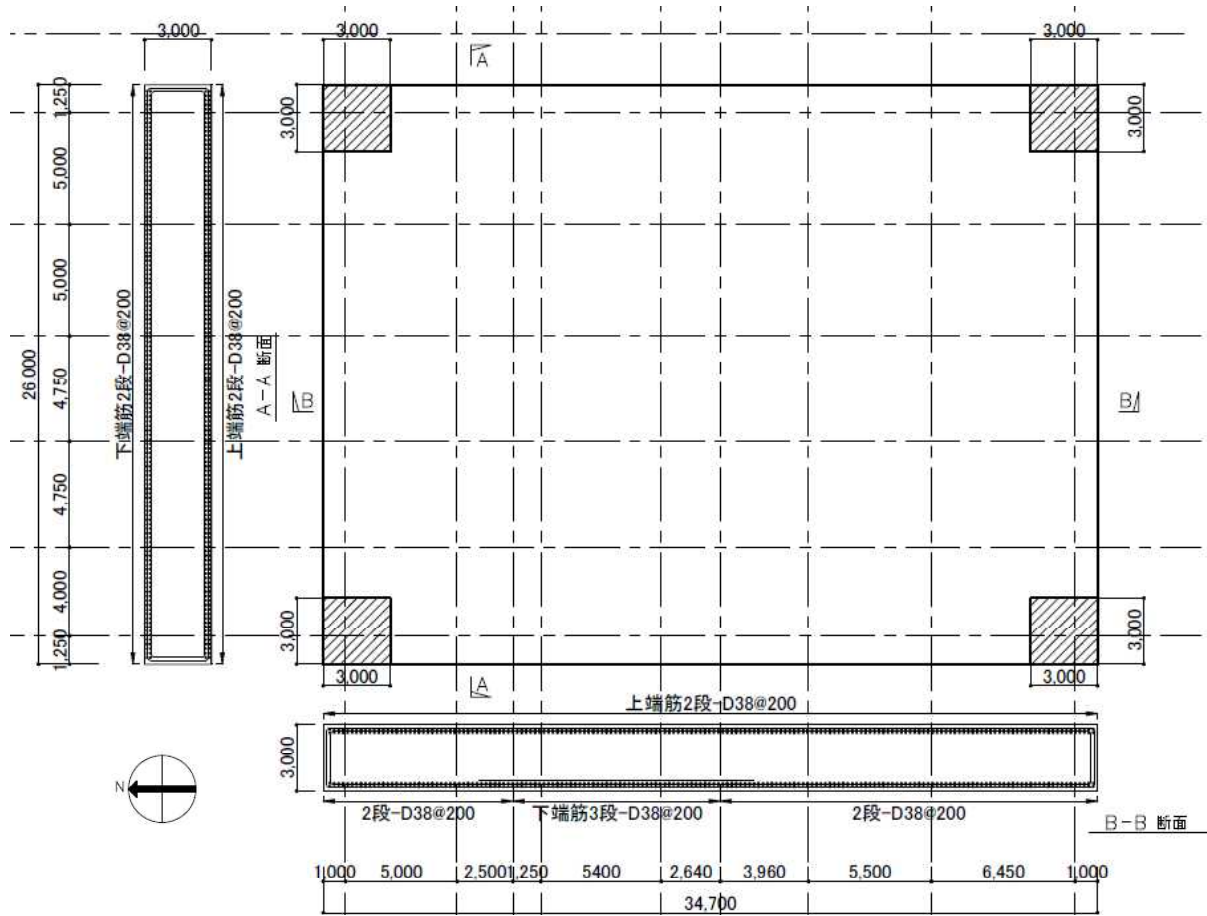
要素番号	方向	荷重ケース (位置)*1	設計応力		N/(b・D) ^{*2} (×10 ⁻² N/mm ²)	M/(b・D ²) (×10 ⁻² N/mm ²)	Pt (%)	設計配筋 上段：上端筋 下段：下端筋 (pt:%)	設計面外 せん断力 Q (kN/m)	許容せん断力 f _s ・b・j (kN/m)	判定
			N*2 (kN/m)	M (kN・m/m)							
575	NS	C(B)	-0.5	408.2	0.000	0.045	0.026	2-D38@200 2-D38@200 (0.38) (0.38)	75.5	1775	O.K.
476	EW	C(B)	-0.8	798.1	0.000	0.089	0.051	2-D38@200 2-D38@200 (0.38) (0.38)	101.1	1775	O.K.
582	NS	C(B)	1.6	75.3	0.001	0.008	0.005	2-D38@200 2-D38@200 (0.38) (0.38)	466.3	1775	O.K.
554	EW	C(B)	-0.7	22.0	0.000	0.002	0.001	2-D38@200 2-D38@200 (0.38) (0.38)	488.7	1775	O.K.

表 4. 2. 4-2 断面検討結果 (地震時:E1~E4)

要素番号	方向	荷重ケース (位置)*1	設計応力		N/(b・D) ^{*2} (×10 ⁻² N/mm ²)	M/(b・D ²) (×10 ⁻² N/mm ²)	Pt (%)	設計配筋 上段：上端筋 下段：下端筋 (pt:%)	設計面外 せん断力 Q (kN/m)	許容せん断力 f _s ・b・j (kN/m)	判定
			N*2 (kN/m)	M (kN・m/m)							
541	NS	E2(B)	-119.5	969.9	0.040	0.108	0.061	2-D38@200 3-D38@200 (0.38) (0.57)	50.8	2616	O.K.
114	EW	E4(A)	-104.7	1140.3	0.035	0.127	0.046	2-D38@200 2-D38@200 (0.38) (0.38)	14.4	2663	O.K.
586	NS	E3(A)	29.4	316.8	0.010	0.035	0.010	2-D38@200 2-D38@200 (0.38) (0.38)	748.8	2663	O.K.
364	EW	E1(B)	26.5	109.7	0.009	0.012	0.003	2-D38@200 2-D38@200 (0.38) (0.38)	677.2	2663	O.K.

*1：()内は、燃料取扱設備の位置を示す。(表 4. 2. 1-4 参照)

*2：圧縮を正とする。



▨部は面外せん断補強を実施
D19@400×200

図 4. 2. 4-3 基礎の配筋図 (単位 : mm)

4.2.5 改良地盤の構造強度に対する検討

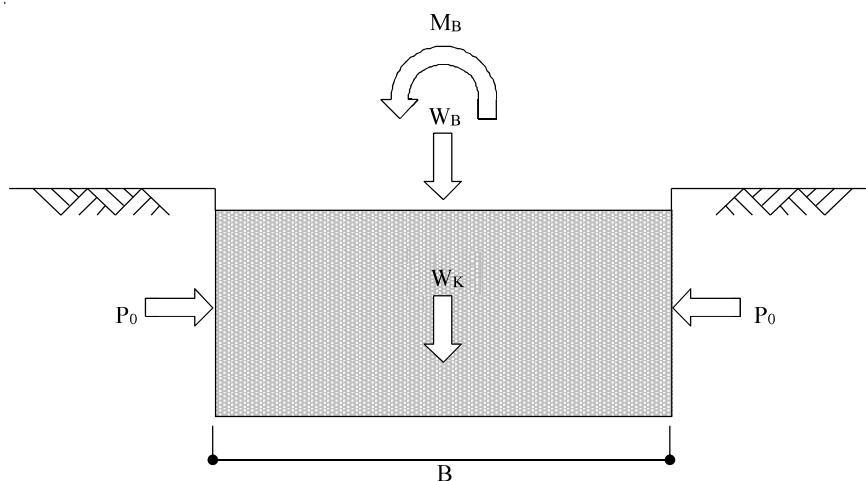
(1) 設計方針

燃料取り出し用構台を支持する改良地盤は、基礎直下の地盤を南北方向に 34.7m、東西方向に 26.0m、改良厚さ 7.16m とし、G.L. -8.1m の泥岩に支持する。検討は「JEAC4616-2009」に準拠し、常時及び地震時の改良地盤に生じる最大応力が許容応力度以下であることを確認する。さらに、改良地盤直下の支持地盤の支持力に対して、常時及び地震時の改良地盤に生じる最大接地圧が許容支持力度以下であることを確認する。

(2) 常時に対する検討

1) 改良地盤の検討

常時において、改良地盤底面に生じる最大接地圧が改良地盤の長期許容圧縮応力度以下であることを確認する。図 4.2.5-1 に作用荷重を示す。



W_B : 燃料取り出し用構台荷重

W_K : 改良地盤の自重

M_B : 燃料取り出し用構台の偏心による転倒モーメント

P_0 : 長期設計用土圧

B : 改良幅

図 4.2.5-1 作用荷重 (常時:C)

改良地盤の荷重負担範囲は、基礎底盤における矩形断面部分を対象とした面積 $A=902.2\text{m}^2$ 、断面係数 $Z_x=3909\text{m}^3$ 、 $Z_y=5217\text{m}^3$ として算定する。改良地盤底面に生じる最大接地圧は下式にて求める。

$$\begin{aligned} \text{鉛直力の合計} & \quad \Sigma W = WB+WK = 233360 \text{ kN} \\ \text{転倒モーメントの合計} & \quad \Sigma M_{BX} = 32707 \text{ kNm (X軸回り:EW方向加力)} \\ & \quad \Sigma M_{BY} = 58936 \text{ kNm (Y軸回り:NS方向加力)} \\ \text{改良地盤の最大接地圧} & \quad q_r = \Sigma W/A + \Sigma M_{BX}/Z_x + \Sigma M_{BY}/Z_y = 279 \text{ kN/m}^2 \end{aligned}$$

改良地盤に生じる最大接地圧 (q_r) は、改良地盤の長期許容圧縮応力度 (ι_{fsc}) 以下であることを確認した。

$$q_r = 279 \text{ kN/m}^2 \leq \iota_{fsc} = 980 \text{ kN/m}^2$$

2) 支持力の検討

改良地盤底面に生じる最大接地圧 (q_r) が、改良地盤直下の支持地盤の長期許容支持力度 (ι_{qa}) 以下であることを確認した。

$$\begin{aligned} \text{改良地盤の最大接地圧} & \quad q_r = 279 \text{ kN/m}^2 \\ \text{支持地盤の長期許容支持力度} & \quad \iota_{qa} = 1960 \text{ kN/m}^2 \end{aligned}$$

$$q_r = 279 \text{ kN/m}^2 \leq \iota_{qa} = 1960 \text{ kN/m}^2$$

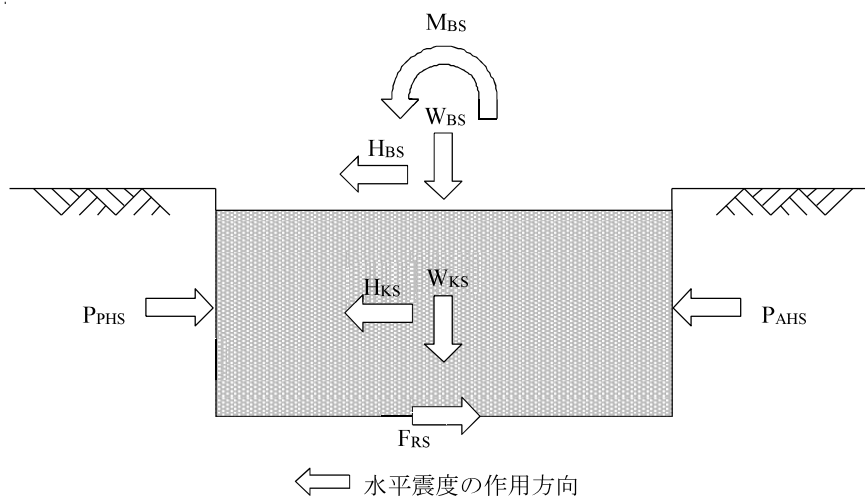
3) 沈下の検討

支持地盤は泥岩（岩盤）であるため、沈下の検討は不要である。

(3) 地震時に対する検討

1) 改良地盤の検討

地震時において、改良地盤底面の最大接地圧及びせん断応力が、改良地盤の短期許容応力度以下であることを確認する。図 4.2.5-2 に作用荷重を示す。



W_{BS} : 燃料取り出し用構台荷重

W_{KS} : 改良地盤の自重

H_{BS} : 燃料取り出し用構台による水平力

M_{BS} : 燃料取り出し用構台による改良地盤底面における
転倒モーメント

H_{KS} : 改良地盤の慣性力 (地中震度 0.15)

P_{AHS} : 地震時主働土圧による水平力

P_{PHS} : 地震時受働土圧による水平力

F_{RS} : 支持地盤のせん断抵抗力

図 4.2.5-2 作用荷重 (地震時:E1~E4)

改良地盤の荷重負担範囲は、基礎底盤における矩形断面部分を対象とした面積 $A=902.2\text{m}^2$ 、断面係数 $Z_X=3909\text{m}^3$ 、 $Z_Y=5217\text{m}^3$ として算定する。改良地盤底面の最大接地圧 (q_{1S}) 及び最大せん断応力 (τ_{\max}) は下式にて求める。

$$\begin{aligned} \text{鉛直力の合計} \quad \Sigma W &= W_{BS}+W_{KS} = 233360 \text{ kN} \\ \text{水平力の合計} \quad \Sigma H_X &= H_{BS}+H_{KS}+P_{AHS}+P_{PHS} = 37007 \text{ kN (NS 方向)} \\ \Sigma H_Y &= H_{BS}+H_{KS}+P_{AHS}+P_{PHS} = 37391 \text{ kN (EW 方向)} \\ \text{転倒モーメントの合計} \quad \Sigma M_X &= M_{BS}+M_{KS}+M_{AHS}+M_{PHS} = 629283 \text{ kNm (X 軸回り:EW 方向加力)} \\ \Sigma M_Y &= M_{BS}+M_{KS}+M_{AHS}+M_{PHS} = 611209 \text{ kNm (Y 軸回り:NS 方向加力)} \end{aligned}$$

ここに、 M_{KS} : 改良地盤の転倒モーメント
 M_{AHS} : 地震時主働土圧による転倒モーメント
 M_{PHS} : 地震時受働土圧による転倒モーメント

$$\begin{aligned} \text{改良地盤底面の最大接地圧} \quad q_{1SX} &= \Sigma W/A + \Sigma M_Y/Z_Y = 396 \text{ kN/m}^2 \\ q_{1SY} &= \Sigma W/A + \Sigma M_X/Z_X = 440 \text{ kN/m}^2 \\ \text{改良地盤底面の最大せん断応力} \quad \tau_{X\max} &= 1.2 \times \Sigma H_X/A = 50 \text{ kN/m}^2 \\ \tau_{Y\max} &= 1.2 \times \Sigma H_Y/A = 50 \text{ kN/m}^2 \end{aligned}$$

改良地盤底面の最大接地圧 (q_{1S}) 及び最大せん断応力 (τ_{\max}) は短期許容応力度 (${}_s f_{sc}$ 及び ${}_s f_{ss}$) 以下であることを確認した。

$$\begin{aligned} q_{1S} = 440 \text{ kN/m}^2 &\leq {}_s f_{sc} = 1960 \text{ kN/m}^2 \\ \tau_{\max} = 50 \text{ kN/m}^2 &\leq {}_s f_{ss} = 300 \text{ kN/m}^2 \end{aligned}$$

2) 支持力の検討

改良地盤底面に生じる最大接地圧 (q_{1S}) が、改良地盤直下の支持地盤の短期許容支持力度 (${}_s q_a$) 以下であることを確認した。

$$\begin{aligned} \text{改良地盤の最大接地圧} \quad q_{1S} &= 440 \text{ kN/m}^2 \\ \text{支持地盤の短期許容支持力度} \quad {}_s q_a &= 3920 \text{ kN/m}^2 \\ q_{1S} = 440 \text{ kN/m}^2 &\leq {}_s q_a = 3920 \text{ kN/m}^2 \end{aligned}$$

4.2.6 原子炉建屋接触部の構造強度に対する検討

(1) 弾性支承反力に対する検討

弾性支承からの反力によって原子炉建屋 RC 梁に生じるせん断力が、梁の許容せん断耐力以下となることを確認する。

弾性支承の反力は基本的に、プール壁及び下階柱に直接かかるように配置するが、一部梁端に作用するため、それを考慮する。

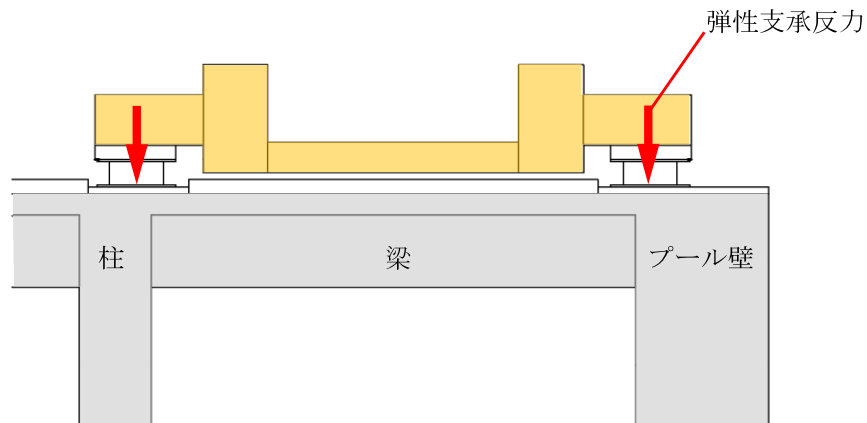


図 4.2.6-1 弾性支承からの反力

検討の結果、梁の発生せん断力が長期許容せん断力以下になることを確認した。

表 4.2.6-1 弾性支承反力に対する検討結果

部位	荷重ケース (位置)*	梁端せん断力 Q (kN)	長期許容せん断力 Qa (kN)	耐力比 Q/Qa	判定
弾性支承受梁	C (A)	760	1486	0.52	O. K.

* : ()内は、燃料取扱設備の位置を示す。(表 4.2.1-4 参照)

4.2.7 外装材の構造強度に対する検討

(1) 設置目的

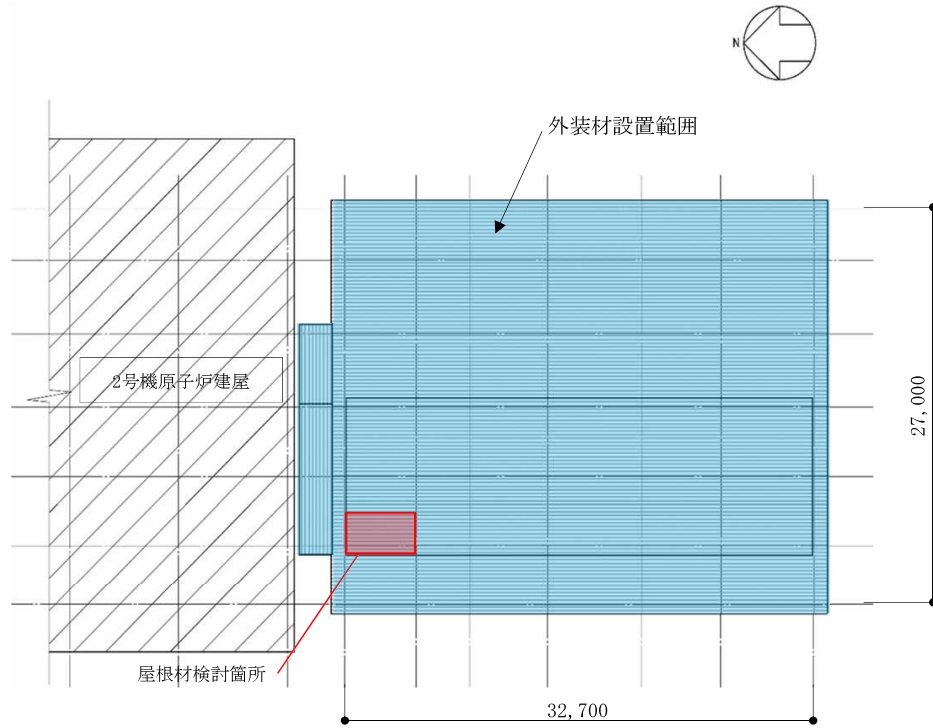
燃料取り出し用構台前室周囲には、燃料取り出し作業環境の整備並びに放射性物質の飛散・拡散防止のため、外装材を設置する。

(2) 評価方針

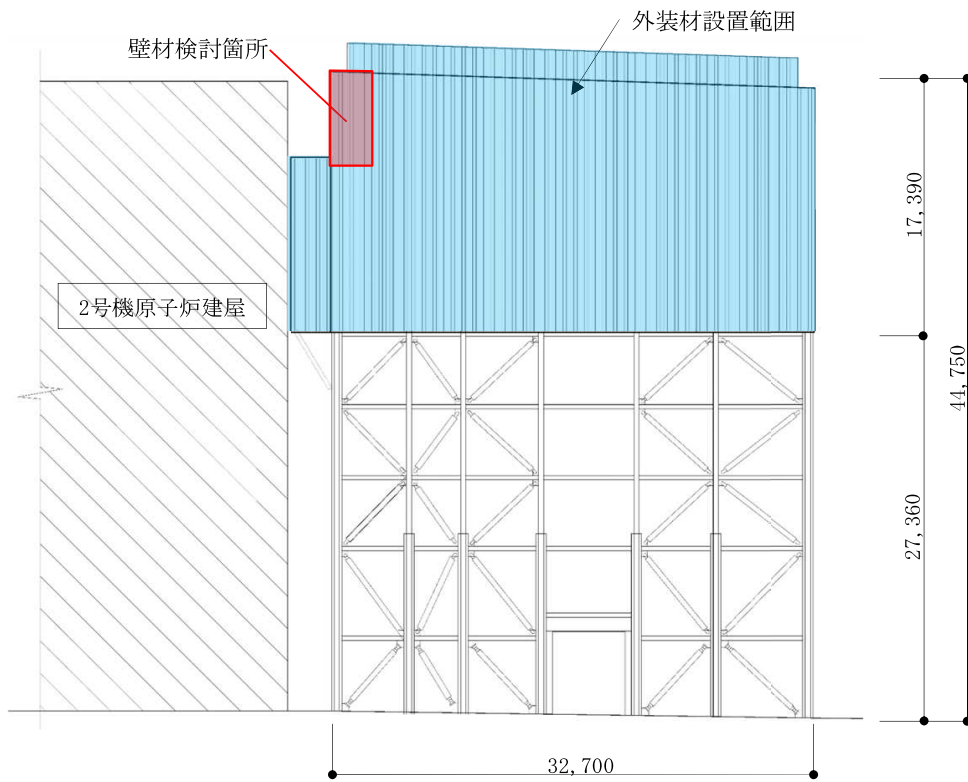
架構の屋根材、壁材には金属製外装材を用いる。断面検討は、屋根材、壁材それぞれに風圧力によって生じる応力度が短期許容応力度以下であることを確認する。

(3) 検討箇所

短期事象においては、暴風時の影響が支配的であることから、積雪時及び地震時の検討は省略する。検討箇所を図 4.2.7-1 に示す。



a. 屋根伏図



b. 西側立面

図 4.2.7-1 外装材検討箇所 (単位: mm)

(3) 設計用荷重の算定

設計用風圧力は、建築基準法施行令第 82 条の 4 及び建設省告示第 1458 号に基づき、基準風速 30m/s、地表面粗度区分Ⅱとして算定する。

表 4.2.7-1 速度圧の算定結果

建物高さ* H (m)	平均風速の高さ方向 の分布を表す係数 Er	基準風速 V ₀ (m/s)	平均速度圧 q (N/m ²)
47	1.258	30	855

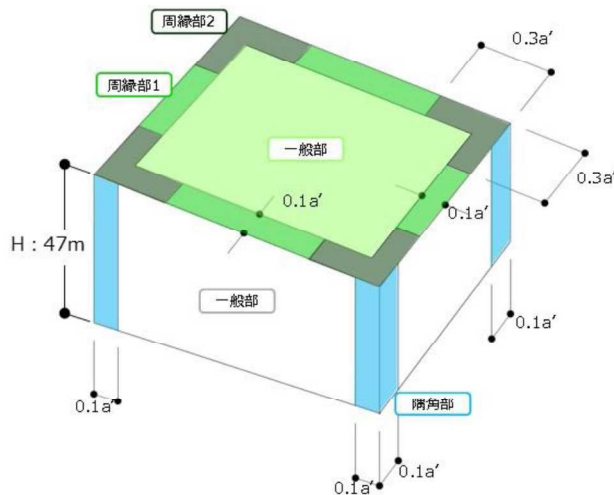
表 4.2.7-2 ピーク風力係数（屋根）

建物高さ* H (m)	正圧	負圧		
		一般部	周縁部 1	周縁部 2
47	0.50	-2.50	-3.20	-4.30

表 4.2.7-3 ピーク風力係数（壁）

建物高さ* H (m)	正圧	負圧	
		一般部	隅角部
47	2.60	-1.88	-2.31

*：建物高さは、安全側に建築物の高さと軒の高さ（水上側鉄骨天端）との平均値以上とした



a' は平面の短辺の長さ \times H の 2 倍の数値のうちいずれか
小さな数値 (30 を超えるときは、30 とする) (単位: m)

図 4.2.7-2 風力係数の算定箇所

(4) 外装材の断面検討

検討は、応力が厳しくなる部位について行う。ここでは、外装材の自重は考慮しないものとする。外装材の支持間隔は、保守的な評価となるように最長スパンを用いて評価するものとし、屋根材の間隔は、3.3m で連続支持、壁材は0.75m で連続支持されているものと仮定する。

屋根材及び壁材の材料諸元を表 4.2.7-4 及び表 4.2.7-5 に示す。また、検討結果を表 4.2.7-6 に示す。

断面検討の結果、全ての外装材に対する応力度比が1以下になることを確認した。

表 4.2.7-4 屋根材の材料諸元

板厚	自重	正曲げ方向		負曲げ方向	
		断面 2 次 モーメント	断面係数	断面 2 次 モーメント	断面係数
t (mm)	G (N/m ²)	I _x (cm ⁴ /m)	Z _x (cm ³ /m)	I _x (cm ⁴ /m)	Z _x (cm ³ /m)
0.8	118	360	43.6	347	40.6

表 4.2.7-5 壁材の材料諸元

板厚	自重	正曲げ方向		負曲げ方向	
		断面 2 次 モーメント	断面係数	断面 2 次 モーメント	断面係数
t (mm)	G (N/m ²)	I _x (cm ⁴ /m)	Z _x (cm ³ /m)	I _x (cm ⁴ /m)	Z _x (cm ³ /m)
0.6	59	2.31	1.67	2.31	1.67

表 4.2.7-6 応力度に対する検討結果

部位	材料	作用応力度 (N/mm ²)	許容応力度 (N/mm ²)	応力度比	判定
屋根材	SGLCC ^{*1}	124	205 ^{*2}	0.61	O. K.
壁 材	SGLCC ^{*1}	96	205 ^{*2}	0.47	O. K.

*1：溶融 55%アルミニウム-亜鉛合金めっき鋼板

*2：「JIS G 3321」の「降伏点又は耐力」とする

4.3 耐震性

4.3.1 検討方針

耐震性の検討は、構台、前室及びランウェイガーダ、弾性支承、オイルダンパ、基礎、改良地盤、原子炉建屋接触部及び原子炉建屋の健全性について行い、1/2Ss450 に対して、これらの応答性状を適切に表現できる地震応答解析を用いて評価する。1/2Ss450 を用いた地震応答解析は水平 2 方向及び鉛直方向を同時に入力する。また、前述の通り 2 号機燃料取り出し用構台については、実施計画変更認可申請の審査期間中に適用地震動見直しが行われたことから、一部の評価については、Ss600 に対する地震応答解析結果との比較から耐震性を確認する。Ss600 を用いた地震応答解析は水平 1 方向及び鉛直方向を同時に入力する。

4.3.2 構台、前室及びランウェイガーダの耐震性に対する検討

(1) 解析に用いる入力地震動

解析に用いる地震動は、2 波ある 1/2Ss450 のうち振幅の大きな検討用地震動①の 1/2 の地震動および Ss600 を用いる。

1/2Ss450 を用いた地震応答解析は水平 2 方向及び鉛直方向を同時に入力するが、全く同じ地震動が同時に水平 2 方向に入力されることは現実的に考えにくいことから、応答スペクトルに基づく検討用地震動①を作成した方法と同一の方法で、目標とする応答スペクトルに適合する位相の異なる模擬地震波（別冊 2 8 P98, P99 参照）を利用する。

地震応答解析に用いる入力地震動の概念図を図 4.3.2-1 に示す。なお、入力地震動策定の詳細については、別冊 2 8 P25, 上下動の解析モデルへの入力方法の妥当性については、別冊 2 8 P26, P27 参照。

解放基盤表面位置 (G. L. -206. 0m) (震災前 O. P. -196. 0m) における 1/2Ss450 と、Ss600 の 3 波の加速度時刻歴波形を図 4.3.2-2, 図 4.3.2-3 及び図 4.3.2-4 に示す。

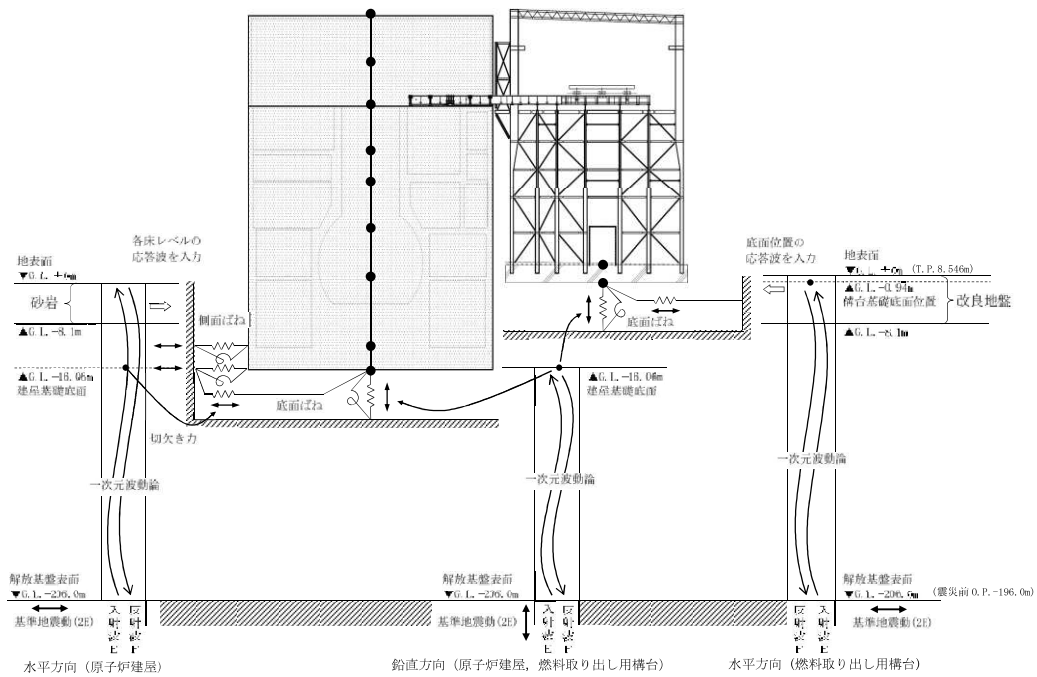


図 4.3.2-1 地震応答解析に用いる入力地震動の概念図

本章に記載の標高は、震災後の地盤沈下量(-709mm)と O.P. から T.P. への読替値(-727mm)を用いて、下式に基づき換算している。
 <換算式> T.P. =旧 O.P. -1,436mm